

UNIVERZITA KOMENSKÉHO V BRATISLAVE

Fakulta matematiky, fyziky a informatiky



Oskulačná kružnica krvky vo vrchole vyššieho rádu

(Práca na Študentskú vedeckú konferenciu)

Viktória Bakurová

Bratislava 2010

Abstrakt

Oskulačná kružnica krivky zostrojená v jej rôznych bodoch dáva základnú predstavu o krivkách a niektorých jej vlastnostiach. Cieľom tejto práce je opísať, aká je vzájomná poloha oskulačnej kružnice a krivky nielen vo všeobecnom bode a v obyčajnom vrchole krivky, ale hlavne vo vrchole vyššieho rádu.

Práca oboznamuje čitateľa so základnými pojмami týkajúcich sa kriviek a s pojмami oskulačná kružnica, vrchol krivky a vrchol vyššieho rádu. Práve dobré zvládnutie týchto pojmov je nevyhnutné k štúdiu a pochopeniu hlavnej časti práce zaoberajúcej sa otázkou, ako sa správa krivka vzhľadom k oskulačnej kružnici vo vrchole rôzneho rádu. Uvedené sú aj príklady kriviek majúce vrcholy vyššieho rádu, ktoré v bežne dostupnej literatúre zaoberajúcej sa krivkami nenájdeme. Práca poskytuje nielen teoretický opis a prehľad danej problematiky, ale pomocou vizualizačného nástroja, ktorý vznikol pre účely tejto práce, sa snaží čitateľovi opísané pojmy a tvrdenia priblížiť a predstaviť aj formou obrázkov.

Kľúčové slová: krivka, prirodzená parametrizácia krivky, oskulačná kružnica, vrchol krivky, vrchol vyššieho rádu

Obsah

Úvod	1
1 Vybrané vlastnosti rovinných kriviek	3
1.1 Definícia krivky a jej parametrické vyjadrenie	3
1.2 Dotyčnica a normála rovinnej krivky	6
1.3 Prirodzená parametrizácia rovinnej krivky	7
1.4 Krivosť krivky a Frenetove vzorce	11
1.5 Styk krivky a kružnice	13
1.6 Oskulačná kružnica rovinnej krivky	15
2 Vzťah rovinnej krivky k oskulačnej kružnici vo vrchole vyššieho rádu	21
2.1 Vrcholy rovinných kriviek	21
2.2 Príklady kriviek s vrcholmi vyšších rátov	22
2.3 Oskulačná kružnica krivky vo všeobecnom bode a v obyčajnom vrchole	28
2.4 Oskulačná kružnica krivky vo vrchole vyššieho rádu	38
3 Vizualizácia vybraných vlastností kriviek a oskulačnej kružnice	60
Záver	66

Zoznam obrázkov

1.1	Krivka daná parametricky	5
1.2	Jednotkový dotykový a normálový vektor krivky	7
1.3	Aproximácia dĺžky krivky ako dĺžka vpísaného polygónu pri naznačenom delení intervalu	9
1.4	Oskulačná kružnica krivky	16
1.5	Oskulačná kružnica krivky v jej rôznych bodoch	17
1.6	Oskulačná kružnica krivky P v bode P_0 ako limita bodov blížiacich sa k bodu P_0	19
2.1	Krivka daná predpisom $f(x) = x^5 + x^2 + 1$ majúca v bode $x = 0$ vrchol prvého rádu	25
2.2	Krivka daná predpisom $f(x) = x^6 + x^5 + x^4 + x^2$ majúca v bode $x = 0$ vrchol druhého rádu	26
2.3	Krivka daná predpisom $f(x) = x^7 + x^4 + x^2$ majúca v bode $x = 0$ vrchol tretieho rádu	27
2.4	Krivka daná predpisom $f(x) = 1,4x^6 + x^4 + x^2$ majúca v bode $x = 0$ vrchol aspoň štvrtého rádu	28
2.5	Oskulačná kružnica krivky v nevrchole, krivka prechádza z jednej strany kružnice na druhú	36
2.6	Oskulačná kružnica krivky v obyčajnom vrchole, krivka leží zvonka kružnice	37

2.7 Oskulačná kružnica krivky danej predpisom $f(x) = x^5 + 0,08x^4 + 0,2x^2$ vo vrchole druhého rádu	57
2.8 Oskulačná kružnica krivky vo vrchole druhého rádu, krivka prechádza z jednej strany kružnice na druhú	57
2.9 Oskulačná kružnica krivky danej predpisom $f(x) = x^6 + 0,08x^4 + 0,2x^2$ vo vrchole tretieho rádu	58
2.10 Oskulačná kružnica krivky vo vrchole tretieho rádu, krivka leží na jednej strane kružnice	58
2.11 Oskulačná kružnica krivky danej predpisom $f(x) = x^7 + x^4 + x^2$ vo vrchole tretieho rádu	59
2.12 Oskulačná kružnica krivky danej predpisom $f(x) = 1,4x^6 + x^4 + x^2$ vo vrchole štvrtého rádu	59
 3.1 Okno otvorené po spustení programu	61
3.2 Vykreslenie grafu funkcie s mriežkou a bez mriežky	62
3.3 Kreslenie dotykového a normálového vektora krivky	63
3.4 Panely slúžiace na prácu s oskulačnou kružnicou krivky	63
3.5 Kreslenie oskulačnej kružnice krivky	64
3.6 Kreslenie kružnice krivky prechádzajúcej jej troma bodmi	65

Úvod

Krivky a základné pojmy s nimi súvisiace sú predmetom štúdia časti matematiky nazvanej diferenciálna geometria. Všetky základné vlastnosti kriviek od ich definície až po krivosť krivky sú opísané vo voľne dostupnej literatúre, ako aj v učebných textoch zameraných práve na diferenciálnu geometriu.

Ako vieme, každá krivka sa skladá z množiny bodov určitých vlastností. V tejto množine bodov nájdeme také body krivky, ktoré sú nejakým spôsobom iné od zvyšných. Takéto body sa nazývajú vrcholy a ich definícia je spojená s krivostou krivky a jej deriváciami.

Vrchol krivky je tiež známym a často spomínaným pojmom v literatúre. Avšak veľmi málo sa hovorí o vrcholoch vyšších rádov a ešte menej o krivkách, ktoré takéto vrcholy majú.

Jedným z cieľov tejto práce bolo nájsť všeobecný predpis, ktorý by umožnil nájsť pre vybranú skupinu kriviek vrchol ľubovoľného rádu. Tento predpis sa nepodařilo určiť, napriek tomu však snaha nájsť ho viedla k nájdeniu konkrétnych kriviek, ktoré vrcholy vyšších rádov majú. Tejto problematike je venovaná podkapitola 2.2 Príklady kriviek s vrcholmi vyšších rádov.

Mnohé lokálne vlastnosti kriviek vieme opísť pomocou oskulačnej kružnice krivky. Jej zavedenie súvisí s krivosťou krivky. To, ako sa oskulačná kružnica správa vo všeobecnom bode a v obyčajnom vrchole krivky je tiež známe. Hlavným cieľom tejto práce bolo zistiť a ukázať, ako sa bude oskulačná kružnica správať vo vrchole ľubovoľného vyššieho rádu. Podarilo sa vysloviť a dokázať tvrdenie hovoriace o tomto vzťahu, hovorí o tom Veta 2.4.3. Ukazuje sa, že kvalita vzťahu krivky k

jej oskulačnej kružnici vo vrchole vyššieho rádu je určená paritou rádu vrchola.

Z dôvodu, aby sme neostávali len pri teoretickom opise kriviek a ich vlastností, ako aj oskulačnej kružnice krivky, k práci vznikol aj program slúžiaci na vizualizáciu vybraných vlastností.

Práca je rozdelená na tri kapitoly. Prvá kapitola uvádza čitateľa do problematiky zavedením a vysvetlením pojmov týkajúcich sa kriviek, ktoré sa ďalej používajú v práci.

Hlavnú časť práce tvorí druhá kapitola. Na jej začiatku sa zavádzajú pojmy vrchol krivky, pričom sa rozlišuje medzi obyčajným vrcholom a vrcholom vyššieho rádu. Opísané sú nájdené príklady kriviek s vrcholmi rôznych rádov a tieto opisy sú doplnené aj ilustračnými obrázkami.

V tejto kapitole sú vyslovené tvrdenia hovoriace o oskulačnej kružnici krivky vo všeobecnom bode a v obyčajnom vrchole. V závere sa hovorí o oskulačnej kružnici vo vrchole vyššieho rádu. Práve tu sú vyslovené a dokázané najdôležitejšie tvrdenia práce. Aj táto časť je doplnená o obrázky ilustrujúce oskulačnú kružnicu krivky vo vrcholoch rôznych rádov.

Tretia kapitola je venovaná programu, ktorý slúži na vizualizáciu vybraných vlastností kriviek. Obrázky použité v tejto kapitole sú zobrazením rôznych výstupov a nastavení, ktoré program umožňuje.

Kapitola 1

Vybrané vlastnosti rovinných kriviek

V úvodnej kapitole práce zadefinujeme krivky v rovine pomocou parametrického vyjadrenia a opíšeme ich základné vlastnosti, s ktorými sa stretneme v ďalšej časti práce a ktoré budeme nejakým spôsobom potrebovať. Všetky pojmy použité v tejto časti práce, rovnako ako aj tvrdenia vyslovené v tejto kapitole, sú dostupné v literatúre, napr. [GIB01], [BOŽ07], [JEŽ09], [SCH10], [BCP03], [BEL06], [HK07]. Keďže ide len o základné vlastnosti kriviek, predpokladáme, že sú čitateľom známe, preto tvrdenia a vety budeme v niektorých prípadoch uvádzať bez dôkazov.

1.1 Definícia krivky a jej parametrické vyjadrenie

S pojmom krivka sa stretávame v matematike aj v iných vedných disciplinách pomerne často, napriek tomu neexistuje jednotná a univerzálna definícia opisujúca tento pojem. Pod krivkou si väčšinou predstavujeme množinu bodov s nejakými vlastnosťami.

V diferenciálnej geometrii a v počítačovej grafike sa krivky najčastejšie zadávajú parametricky prostredníctvom bodovej funkcie jednej premennej.

Definícia 1.1.1 (Bodová funkcia jednej premennej v rovine a jej derivácia):

Bodová funkcia jednej premennej v rovine je zobrazenie $P : I \rightarrow \mathbb{E}^2$, kde $I \subseteq \mathbb{R}$ je

interval. Ide teda o také zobrazenie, ktoré každému reálnemu číslu z intervalu I priradí bod v rovine. Klasický zápis bodovej funkcie jednej premennej je $P = P(t)$, kde $t \in I$ nazývame parametrom bodu $P(t)$. V súradničach vyzerá tento zápis nasledovne: $P(t) = (x(t), y(t))$, $t \in I$. V tomto vyjadrení nazývame výsledné funkcie $x, y : I \rightarrow \mathbb{R}$ súradnicami zobrazenia P . Pod deriváciou bodovej funkcie $P(t) = (x(t), y(t))$ v bode $t_0 \in I$ rozumieme vektor $P'(t_0) = (x'(t_0), y'(t_0))$.

Definícia 1.1.2 (Vektorová funkcia jednej premennej):

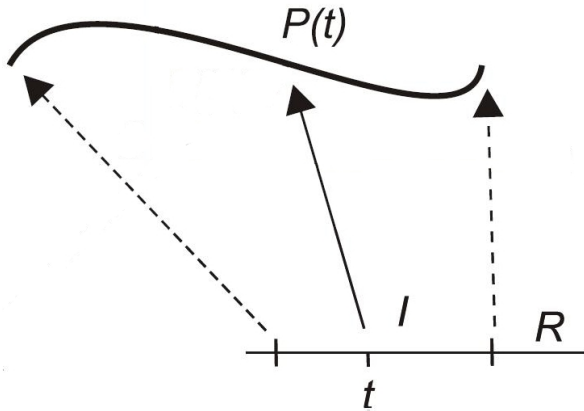
Vektorová funkcia jednej premennej v rovine je zobrazenie $\mathbf{u} : I \rightarrow \mathbb{E}^2$, kde $I \subseteq \mathbb{R}$ je interval. Ide teda o také zobrazenie, ktoré každému reálnemu číslu z intervalu I priradí vektor v rovine. Klasický zápis vektorovej funkcie jednej premennej je $\mathbf{u} = \mathbf{u}(t)$, kde $t \in I$. V súradničach vyzerá tento zápis nasledovne: $\mathbf{u}(t) = (x(t), y(t))$, $t \in I$. V tomto vyjadrení nazývame výsledné funkcie $x, y : I \rightarrow \mathbb{R}$ súradnicami zobrazenia \mathbf{u} .

Poznámka: Prvá, ako aj všetky vyššie derivácie bodovej funkcie jednej premennej sú vektorové funkcie jednej premennej. Všetky derivácie vektorovej funkcie sú vektorové funkcie.

Definícia 1.1.3 (Parametrické vyjadrenie krivky v rovine):

Pod parametrickým vyjadrením krivky v rovine rozumieme bodovú funkciu jednej premennej $P : I \rightarrow \mathbb{E}^2$, kde $I \subseteq \mathbb{R}$, pričom požadujeme hladkosť a regulárnosť tejto funkcie. Pod hladkosťou zobrazenia $P(t) = (x(t), y(t))$ rozumieme skutočnosť, že v každom parametri t majú výsledné komponenty x a y derivácie všetkých rádov. Regulárnosť zobrazenia znamená, že pre ľubovoľné $t \in I$ je $P'(t) \neq 0$.

Poznámka: Z dôvodu, aby sme požiadavkou regulárnosti nevylúčili spomedzi kriviek príliš veľkú skupinu nespĺňajúcu túto podmienku, pripúšťame výskyt niekoľkých bodov, pre ktoré podmienka regulárnosti nie je splnená. Body krivky s parametrizáciou $P(t)$, pre ktoré $P'(t) = \mathbf{0}$, nazývame singulárne body krivky, ostatné body sú regulárne.



Obr. 1.1: Krivka daná parametricky

Zdroj: [JEŽ09]

Na základe zavedenia pojmu parametrického vyjadrenia krivky teraz môžeme krivku chápať takto: krivka je určená svojou parametrizáciou, t.j. hladkou a regulárnu (až na výnimku konečného počtu bodov) bodovou funkciou jednej premennej.

Poznámka: Krivku určenú parametrizáciou $P(t)$ zjednodušene nazývame "krivka $P(t)$ ".

Krivka svojou parametrizáciou nie je určená jednoznačne, rôzne parametrizácie môžu určovať tú istú krivku. Niekedy je dokonca vhodná zmena parametrizácie krivky. Nasledujúca definícia hovorí o tom, ako parametrizáciu zmeniť:

Definícia 1.1.4 (Zmena parametrizácie krivky):

Nech je daná krivka $P(t)$, $t \in I$. Nech J je nejaký interval a na nej nech je definované zobrazenie $\varphi : J \rightarrow \mathbb{R}$ také, že $t = \varphi(u)$. Od zobrazenia φ požadujeme hladkosť, regulárnosť a surjektívnosť, pričom pod surjektívnosťou tohto zobrazenia rozumieme to, že interval J sa zobrazuje na interval I . Nová parametrizácia $Q(u)$ krivky $P(t)$ bude také parametrické vyjadrenie tejto krivky, pre ktoré bude platit': $Q(u) = P(\varphi(u))$, $u \in J$. Zmenu parametrizácie krivky nazývame reparametrizácia.

Poznámka: Každá krivka má nekonečne veľa parametrizácií.

1.2 Dotyčnica a normála rovinnej krivky

Majme danú krivku prirodzenou parametrizáciou $P(t)$, $t \in I$.

Definícia 1.2.1 (Dotykový a normálový vektor krivky):

Dotykový vektor krivky $T(t)$ v parametri t_0 je definovaný ako vektor $T(t_0) = P'(t_0) = (x'(t_0), y'(t_0))$.

Normálový vektor krivky v parametri t_0 je definovaný ako vektor, ktorý dostaneme otočením dotykového vektora v rovnakom parametri o $+90^\circ$. Normálový vektor krivky sa označuje $N(t)$ a vyzerá nasledovne: $N(t_0) = (-y'(t_0), x'(t_0))$.

Definícia 1.2.2 (Dotyčnica a normála krivky):

Nech je dané číslo $t_0 \in I$.

Dotyčnica krivky v regulárnom bode $P(t_0)$ je priamka určená bodom $P(t_0)$ a dotykovým vektorom $T(t_0) = (x'(t_0), y'(t_0))$. Dotyčnica rovinnej krivky je teda vyjadrená rovnicou $(x(t) - x(t_0)) y'(t_0) - (y(t) - y(t_0)) x'(t_0) = 0$.

Normála krivky v regulárnom bode $P(t_0)$ je priamka určená bodom $P(t_0)$ a normálovým vektorom $N(t_0) = (-y'(t_0), x'(t_0))$. Dotyčnica rovinnej krivky je teda vyjadrená rovnicou $(x(t) - x(t_0)) x'(t_0) + (y(t) - y(t_0)) y'(t_0) = 0$.

Poznámka: Dotyčnica aj normála krivky sú definované len v regulárnych bodoch krivky. Tento predpoklad zabezpečí, že dotykový a normálový vektor sú nenulové. V singulárnom bode sa dotyčnica a normála nedefinujú.

V ďalšom texte sa často budeme stretávať s pojmom jednotkový vektor dotyčnice a normály, ktoré vieme dostať práve ortomormalizáciou dotykového a normálového vektora krivky. Nasledujúca veta hovorí o tom, ako tieto vektory vyjadríť pomocou parametrizácie krivky a jej derivácií.

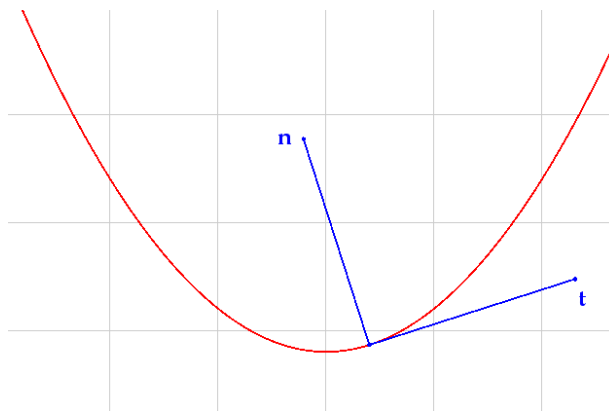
Veta 1.2.1 (Jednotkový vektor dotyčnice a normály):

Na dotyčnici a normále krivky v jej neinflexnom bode ležia jednotkové vektorov \mathbf{t} a \mathbf{n} , ktoré vznikajú ortonormalizáciou vektorov P' a P'' :

$$\mathbf{t} = \frac{P'}{|P'|}, \mathbf{n} = \frac{(P'P')P'' - (P'P'')P'}{|(P'P')P'' - (P'P'')P'|} = \operatorname{sgn} \det(P', P'') (\perp \mathbf{t})$$

Nazývajú sa jednotkový vektor dotyčnice a normály.

Dôkaz. Vzťah pre jednotkový normálový vektor dostávame priamou ortonormalizáciou vektora $T = P'$. Vzťah pre jednotkový normálový vektor dostaneme priamym výpočtom $\frac{(P'P')P'' - (P'P'')P'}{|(P'P')P'' - (P'P'')P'|}$, pričom si treba uvedomiť, že ak vektor $\mathbf{t} = (a, b)$, tak $\perp \mathbf{t} = (-b, a)$. \square



Obr. 1.2: Jednotkový dotykový a normálový vektor krivky

Definícia 1.2.3 (Inflexný bod krivky):

Bod $P(t)$ rovinnej krivky nazývame inflexným bodom krivky, ak vektory $P'(t)$ a $P''(t)$ sú lineárne závislé. Ak sú tieto vektory lineárne nezávislé, hovoríme o neinflexnom bode krivky.

1.3 Prirodzená parametrizácia rovinnej krivky

Jedna z vlastností krivky danej parametricky je jej dĺžka na podintervale jej definičného oboru. Pomocou tej vieme krivku definovať prirodzenou parametrizáciou. Takáto parametrizácia má z hľadiska geometrie kriviek viacero zaujímavých vlastností.

Definícia 1.3.1:

Nech $P : I = \langle a, b \rangle \rightarrow \mathbb{R}^2$ je krivka daná parametricky. Potom pre ľubovoľný parameter t taký, že $a \leq t \leq b$ je definovaná dĺžka oblúka z a do t nasledovnou funkciou:

$$s(t) = \int_a^t |P'(u)| du,$$

kde $|P'(u)| = \sqrt{(x'(u))^2 + (y'(u))^2}$ je dĺžka vektora $P'(u)$.

Poznámka: Funkcia $s(t)$ určuje vlastne vzdialenosť bodov $P(a)$ a $P(t)$ pozdĺž krivky. Ak zderivujeme túto funkciu podľa parametra t , dostaneme nasledovný vzťah: $s'(t) = |P'(t)|$. Derivácia tejto funkcie hovorí o tom, ako sa mení dĺžka oblúka vzhľadom na parameter t .

Definícia 1.3.2:

Nech $P : I = \langle a, b \rangle \rightarrow \mathbb{R}^2$ je krivka daná parametrickým vyjadrením. Nech $D = \{a = t_0 < t_1 < \dots < t_k = b\}$ je nejaké delenie intervalu $\langle a, b \rangle$. Potom approximácia dĺžky krivky P pri delení D je určená nasledovným vzťahom:

$$l(P, D) = \sum_{i=1}^k |P(t_i) - P(t_{i-1})|$$

Aproximácia dĺžky krivky P pri delení D je teda rovná dĺžke vpísaného polygónu s vrcholmi $P(t_0), \dots, P(t_k)$.

Poznámka: Pomocou predchádzajúcej definície sa definuje dĺžka krivky ako suprénum všetkých možných approximácií dĺžok krivky P pri rôznych deleniach D , t.j.

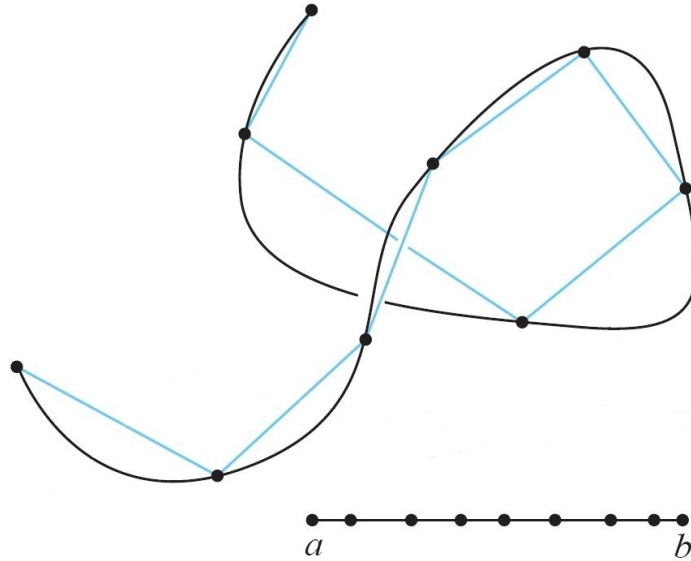
$$l(P) = \sup\{l(P, D) : D \text{ je delenie } \langle a, b \rangle\}.$$

Z tejto skutočnosti vyplýva nasledujúca veta:

Veta 1.3.1 (Dĺžka krivky):

Nech máme danú krivku parametrizáciou $P(t)$, $t \in \langle a, b \rangle$. Potom pre dĺžku krivky $l(P)$ platí:

$$l(P) = \int_a^b |P'(t)| dt$$



Obr. 1.3: Aproximácia dĺžky krivky ako dĺžka vpísaného polygónu pri naznačenom delení intervalu

Zdroj: [SCH10]

Krivku v rovine môžeme mať vyjadrenú aj funkciou $y = f(x)$, $x \in \langle a, b \rangle$. Krivka vyjadrená takouto rovnicou má parametrické vyjadrenie $P(t) = (t, f(t))$. Dotykový vektor takejto krivky má tvar $P'(t) = (1, f'(t))$. Zo vzťahu pre výpočet dĺžky krivky vieme počítať dĺžku grafu tejto funkcie nasledovne:

$$l = \int_b^a \sqrt{1 + (f'(x))^2} dx$$

Po zavedení pojmu dĺžka krivky vieme definovať prirodzenú parametrizáciu krivky:

Definícia 1.3.3 (Prirodzená parametrizácia krivky):

Nech je daná krivka parametrizáciou $P(t)$. Táto parametrizácia sa nazýva prirodzená parametrizácia alebo parametrizácia oblúkom, ak pre každý podinterval $\langle a, b \rangle \subset I$ sa dĺžka krivky zúženej na interval $\langle a, b \rangle$ rovná dĺžke zodpovedajúceho podintervalu definičného oboru, t.j. platí:

$$l(P|_{\langle a, b \rangle}) = b - a \text{ pre každé } \langle a, b \rangle \subset I$$

Veta 1.3.2:

Krivka je daná prirodzenou parametrizáciou práve vtedy, ak pre ľubovoľné $t \in \langle a, b \rangle$ platí, že $|P'(t)| = 1$.

Dôkaz. Predchádzajúca veta vyplýva priamo z definície dĺžky krivky. \square

Z každej regulárnej parametrizácie krivky môžeme vhodnou substitúciou dostať prirodzenú parametrizáciu krivky. Každá krivka má nekonečne veľa prirodzených parametrizácií. Ak P je regulárna krivka daná parametricky a dĺžka oblúka krivky z a do t je daná ako $s(t) = \int_a^t |P'(u)| du$, tak funkcia $s(t)$ je rastúca, pretože pre jej deriváciu platí: $s'(t) = |P'(t)|$ a teda $s'(t) > 0$ pre každé $t \in \langle a, b \rangle$. K funkcií $s(t)$ existuje inverzná funkcia, označme ju $t = t(s)$.

Nech teraz $Q(s)$ je nová parametrizácia, ktorá vznikla z pôvodnej parametrizácie nasledovne: $Q(s) = P(t(s))$. Pre jej deriváciu platí:

$$Q'(s) = Q'(t(s)) t'(s) = \frac{P'(t(s))}{s'(t(s))} = \frac{P'(t(s))}{|P'(t(s))|}$$

To ale znamená, že veľkosť vektora $Q'(s) = 1$ a teda parametrizácia $Q(s)$ je prirodzenou parametrizáciou krivky.

Poznámka: Aby sme vedeli vizuálne odlišiť prirodzenú parametrizáciu od regulárnej parametrizácie, parameter prirodzenej parametrizácie sa označuje s .

Prirodzená parametrizácia rovinnej krivky má viacero zaujímavých vlastností. O niektorých z nich hovorí nasledujúca veta:

Veta 1.3.3:

Základné vlastnosti prirodzenej parametrizácie sú:

1. $|P'(s)| = 1$

2. $P''(s) \perp P'(s)$

$$3. \mathbf{t}(s) = P'(s), \mathbf{n}(s) = \frac{P''(s)}{|P''(s)|}$$

Dôkaz. 1. Prvá vlastnosť prirodzenej parametrizácie krivky vyplýva priamo z definície prirodzenej parametrizácie krivky a z definície dĺžky krivky.

2. V dôkaze druhej vlastnosti vychádzame z toho, že $|P'(s)| = 1$. Platí teda, že $P'(s)P'(s) = 1$. Po zderivovaní tejto rovnosti dostávame, že $2P'(s)P''(s) = 0$ pre ľubovoľné s , a teda $P''(s) \perp P'(s)$.

3. Vieme, že jednotkový dotykový vektor krivky je definovaný vzťahom $\mathbf{t} = \frac{P'}{|P'|}$, a keďže v prirodzenej parametrizácii je $|P'(s)| = 1$, tak $\mathbf{t}(s) = P'(s)$. Podobne pre jednotkový normálový vektor krivky platí: $\mathbf{n} = \frac{(P'P')P'' - (P'P'')P'}{|(P'P')P'' - (P'P'')P'|}$. V prirodzenej parametrizácii sú vektory $P'(s)$ a $P''(s)$ na seba kolmé, teda ich skalárny súčin je rovný nule. Taktiež platí, že $P'(s)P'(s) = 1$. Aplikovaním týchto vzťahov na uvedený vzorec dostaneme, že v prirodzenej parametrizácii je jednotkový normálový vektor daný ako $\mathbf{n}(s) = \frac{P''(s)}{|P''(s)|}$. \square

Poznámka: V prirodzenej parametrizácii je bod $P(s)$ inflexný práve vtedy, ak $P''(s) = 0$. Tento fakt vyplýva z prvej a druhej vlastnosti prirodzenej parametrizácie uvedenej v predchádzajúcej vete.

1.4 Krivosť krivky a Frenetove vzorce

Jednou zo základných vlastností kriviek je krivosť, ktorá opisuje, ako krivka mení svoj smer. Pomocou krivosti vieme od seba ľahko rozlíšiť napríklad priamku a kružnicu.

Definícia 1.4.1 (Krivosť krivky danej prirodzenou parametrizáciou):

Krivosť rovinnej krivky $k(s)$ v bode krivky $P(s)$ danou prirodzenou parametrizáciou je definovaná ako číslo $k(s) = |\mathbf{t}'(s)| = |P''(s)|$, kde $\mathbf{t}(s)$ je jednotkový dotykový vektor danej krivky.

Veta 1.4.1:

Nech $f, g : (a, b) \rightarrow \mathbb{E}^2$ sú diferencovateľné vektorové funkcie, pre ktoré platí: $f(t)g(t) = \text{const}$ pre každé $t \in (a, b)$, potom $f'(t)g(t) = -f(t)g'(t)$. Z toho vyplýva nasledujúce tvrdenie: $|f(t)| = \text{const} \iff f(t)f'(t) = 0$ pre každé $t \in (a, b)$.

Dôkaz. Keďže $f(t)g(t) = \text{const}$ pre každé $t \in (a, b)$, potom pre deriváciu tohto súčinu platí: $(f(t)g(t))' = f'(t)g(t) + f(t)g'(t) = 0$. Z toho teda $f'(t)g(t) = -f(t)g'(t)$. Druhé tvrdenie vety je priamou aplikáciou prvého tvrdenia. \square

Použitím tejto lemy a definície krivosti vieme skonštruovať Frenetove vzorce regulárnych kriviek daných parametricky.

Veta 1.4.2 (Frenetove vzorce):

Pre rovinnú krivku danú prirodzenou parametrizáciou platí:

$$\mathbf{t}'(s) = k(s)\mathbf{n}(s)$$

$$\mathbf{n}'(s) = -k(s)\mathbf{t}(s)$$

Dôkaz. Nech P je krivka daná prirodzenou parametrizáciou $P(s)$. Potom pre jej deriváciu platí, že $P'(s) = \mathbf{t}(s)$ je jednotkový dotykový vektor danej krivky. Pretože $\mathbf{t}(s)$ má konštantnú dĺžku, vektor $\mathbf{t}'(s)$ je naňho kolmý. Keďže $\mathbf{t}'(s) \neq 0$, jednotkový normálový vektor $\mathbf{n}(s)$ je vyjadrený vzťahom $\mathbf{n}(s) = \frac{\mathbf{t}'(s)}{|\mathbf{t}'(s)|} = \frac{P''(s)}{|P''(s)|}$. Pre krivosť danej krivky platí, že $k(s) = |\mathbf{t}'(s)| = |P''(s)|$, dostávame vzťah $\mathbf{t}'(s) = k(s)\mathbf{n}(s)$.

Z lemy vieme, že $\mathbf{n}(t)\mathbf{n}'(t) = 0$ a $\mathbf{n}'(t)\mathbf{t}(t) = -\mathbf{n}(t)\mathbf{t}'(t) = -k(s)$. Z týchto rovností vyplýva, že $\mathbf{n}'(s) = -k(s)\mathbf{t}(s)$. \square

Definícia 1.4.2 (Krivosť krivky danej parametricky):

Krivosť rovinnej krivky $k(t)$ v bode krivky $P(t)$ je definovaná ako číslo

$$k(t) = \frac{|\det(P'(t), P''(t))|}{|P'(t)|^3}$$

V súradničiach vyzerá tento vzťah takto:

$$k(t) = \frac{\left| \begin{array}{cc} x'(t) & y'(t) \\ x''(t) & y''(t) \end{array} \right|}{\left((x'(t))^2 + (y'(t))^2 \right)^{\frac{3}{2}}}$$

Poznámka: Ak je krvka zadaná ako graf funkcie $y = f(x)$ s parametrizáciou $P(t) = (t, f(t))$, tak na výpočet jej krivosti sa používa vzťah $k(t) = \frac{|f''(t)|}{(1+(f'(t))^2)^{\frac{3}{2}}}$. Tento vzťah dostávame priamym dosadením do vzťahu pre výpočet krivosti krvky danej parametricky.

Poznámka: Krivosť krvky nadobúda v každom parametri len nezáporné hodnoty. Krivosť je rovná nule práve vtedy, ak $\det(P'(t), P''(t)) = 0$, to ale znamená, že vektory $P'(t)$ a $P''(t)$ sú lineárne závislé. Táto situácia nastáva len v prípade, že $P(t)$ je inflexným bodom krvky, preto krivosť krvky je nulová práve v inflexnom bode krvky.

1.5 Styk krvky a kružnice

V tejto podkapitole si povieme niečo o tom, ako sa vzájomne chovajú krvka daná parametricky a kružnica, ktorá má s touto krvkou spoločný bod. Tieto poznatky nám umožnia v ďalšej podkapitole opis oskulačnej kružnice, ktorá je dôležitou súčasťou tejto práce.

Nech $P : I \rightarrow \mathbb{E}^2$ je krvka daná parametricky a nech $P(t_0)$, $t_0 \in I$ je jej regulárny bod. Majme danú kružnicu k so stredom v bode S a s polomerom r vyjadrenú rovnicou $|P(t) - S|^2 = r^2$. Nech táto kružnica prechádza bodom $P(t_0)$, to znamená, že $|P(t_0) - S|^2 = r^2$. Definujme funkciu styku krvky P a kružnice k :

Definícia 1.5.1:

Funkcia styku kružnice k a krvky P v spoločnom bode $P(t_0)$ je hladká funkcia γ taká, že $\gamma : I \rightarrow \mathbb{R}$ a platí: $\gamma(t) = |P(t) - S|^2 - |P(t_0) - S|^2$.

Poznámka: Je zrejmé, že funkcia styku kružnice a krvky je nulová, ak $P(t)$ leží

na kružnici. Ak bod $P(t)$ leží zvonka kružnice, tak je funkcia styku kladná a ak leží vo vnútri kružnice, tak je funkcia styku záporná.

Poznámka: Parameter t_0 je zrejme bodom, v ktorom je funkcia styku nulová.

Definícia 1.5.2 (Styk rádu k):

Hovoríme, že kružnica k má s krvkou P styk rádu k v bode $P(t_0)$, ak platia nasledovné podmienky:

$$\gamma(t_0) = 0, \gamma'(t_0) = 0, \dots, \gamma^{(k)}(t_0) = 0$$

Hovoríme, že kružnica k je dotykovou kružnicou krvky P v bode $P(t_0)$, ak má s krvkou styk rádu najmenej 1, t.j. $\gamma(t_0) = 0, \gamma'(t_0) = 0$.

Veta 1.5.1:

Kružnica k je dotykovou kružnicou krvky P v regulárnom bode $P(t_0)$ práve vtedy, ak jej stred S leží na normále krvky P v bode $P(t_0)$. Kružnica, ktorá ku krvke v bode $P(t_0)$ nie je dotyková, pretína krvku v tomto bode.

Dôkaz. Z predchádzajúcej definície vieme, že kružnica k je dotyková ku krvke v bode $P(t_0)$, ak $\gamma'(t_0) = 0$, pričom $\gamma(t)$ je funkcia styku kružnice a krvky. Jej predpis vyzerá nasledovne:

$$\gamma(t) = |P(t) - S|^2 - |P(t_0) - S|^2$$

Derivovaním tejto funkcie dostaneme: $\gamma'(t) = 2(P(t) - S)P'(t)$. Pretože $\gamma'(t_0) = 0 = 2(P(t_0) - S)P'(t_0)$, tak $(P(t_0) - S)P'(t_0) = 0$. To znamená, že vektory $(P(t_0) - S)$ a $P'(t_0)$ sú na seba kolmé, z čoho je zrejmé, že stred S leží na normále krvky v bode $P(t_0)$.

Ak kružnica k nie je dotyková ku krvke P , tak majú styk rádu 1 a to znamená, že kružnica a krvka sa v bode $P(t_0)$ pretínajú. \square

Veta 1.5.2:

V neinflexnom bode $P(t_0)$ krvky $P(t)$ existuje práve jedna kružnica, ktorá má s krvkou v tomto bode styk rádu najmenej 2 a jej polomer je $\frac{1}{k(t_0)}$, kde $k(t_0)$ je krivosť krvky v t_0 .

Dôkaz. Podmienkou styku rádu 2 kružnice a krivky v bode $P(t_0)$ je, že pre funkciu styku platí: $\gamma(t_0) = 0, \gamma'(t_0) = 0, \gamma''(t_0) = 0$. Kružnica je v tomto prípade dotyková ku krivke v bode $P(t_0)$ a teda podľa predchádzajúcej vety jej stred leží na normále danej krivky v $P(t_0)$. Vektor $P(t_0) - S$ je rovnobežný s jednotkovým normálovým vektorom $\mathbf{n}(t_0)$, preto sa bod S dá vyjadriť ako $S = P(t_0) + \alpha \mathbf{n}(t_0)$, $\alpha \in \mathbb{R}$. Počítajme prvú a druhú deriváciu funkcie styku:

$$\begin{aligned}\gamma(t) &= |P(t) - S|^2 - |P(t_0) - S|^2 \\ \gamma'(t) &= 2(P(t) - S)P'(t) \\ \gamma''(t) &= 2((P(t) - S)P''(t) + (P'(t))^2)\end{aligned}$$

Do druhej derivácie v t_0 dosadíme vyjadrenie bodu S a dostávame:

$$\begin{aligned}\gamma''(t_0) &= 2((P(t_0) - S)P''(t_0) + (P'(t_0))^2) = 0 \\ (P(t_0) - P(t_0) - \alpha \mathbf{n}(t_0))P''(t_0) + (P'(t_0))^2 &= 0\end{aligned}$$

Kedže $\mathbf{n}(t_0)P''(t_0) = k(t_0)$, tak pre α platí:

$$\alpha = \frac{(P'(t_0))^2}{\mathbf{n}(t_0)P''(t_0)} = \frac{1}{k(t_0)}$$

Ak je bod $P(t_0)$ inflexný, tak $\mathbf{n}(t_0)P''(t_0) = 0$ a teda neexistuje riešenie pre α . V tomto prípade neexistuje kružnica, ktorá má s danou krivkou styk rádu najmenej 2.

□

1.6 Oskulačná kružnica rovinnej krivky

Majme danú rovinnú krivku parametrizáciou $P(t) = (x(t), y(t))$, $t \in I$. Nech je táto krivka regulárna. Pomocou pojmu krivosti krivky vieme v neinflexnom bode krivky definovať ďalšie pojmy súvisiace s krivostou a následne aj oskulačnú kružnicu krivky v takomto bode.

Definícia 1.6.1:

Nech $P(t)$ je neinflexný bod krivky a $k(t)$ príslušná krivosť. V tomto bode krivky definujeme ďalšie pojmy súvisiace s krivostou krivky. Číslo

Oskulačná kružnica rovinnej krivky

$$r(t) = \frac{1}{k(t)} = \frac{1}{|P''(s)|}$$

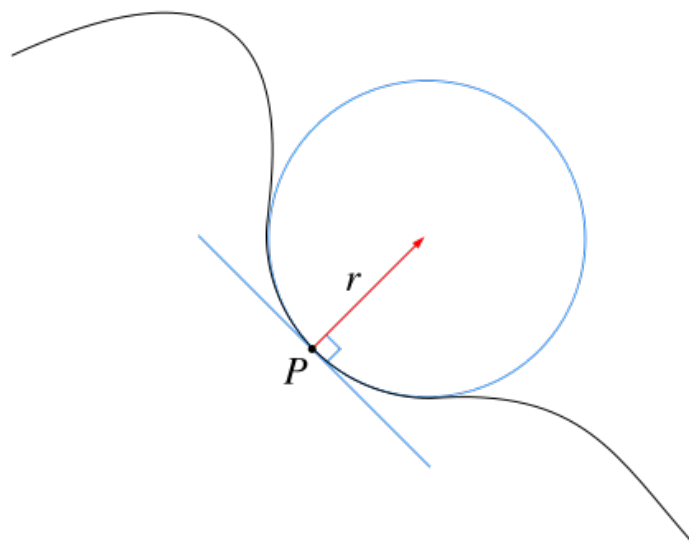
nazývame polomer krivosti a bod

$$S(t) = P(t) + r(t) \mathbf{n}(t)$$

stred krivosti.

Definícia 1.6.2 (Oskulačná kružnica rovinnej krivky):

Oskulačnou kružnicou krivky v regulárnom bode $P(t)$ nazývame kružnicu so stredom v bode $S(t)$ a s polomerom $r(t)$, kde $S(t)$ je stred krivosti a $r(t)$ je polomer krivosti v bode $P(t)$.

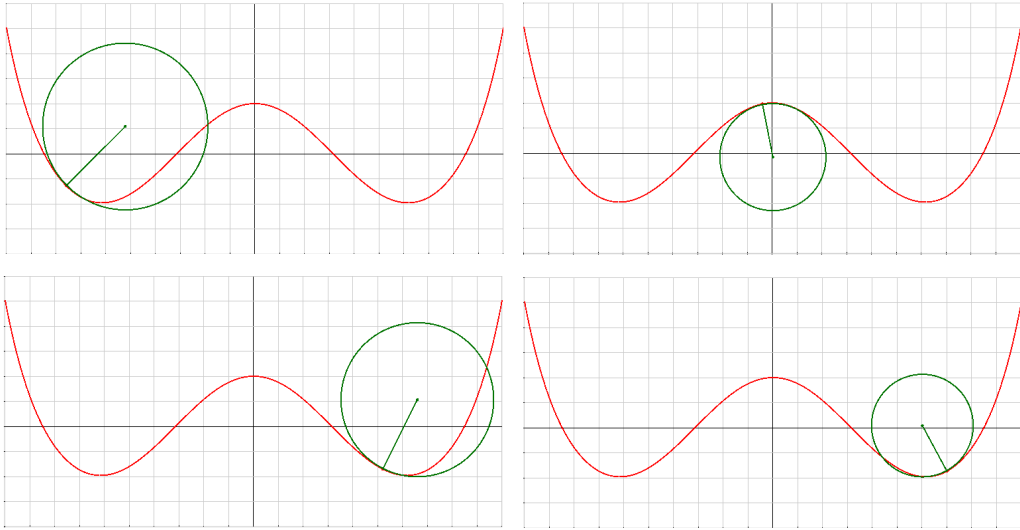


Obr. 1.4: Oskulačná kružnica krivky

Zdroj: Wikipedia: http://en.wikipedia.org/wiki/File:Osculating_circle.svg

Poznámka: Oskulačná kružnica dáva základnú predstavu o tvare rovinnej krivky v blízkosti bodu, v ktorom je zostrojená.

Poznámka: Z vyjadrenia stredu oskulačnej kružnice vyplýva, že tento bod leží na normále krivky v danom bode.



Obr. 1.5: Oskulačná kružnica krivky v jej rôznych bodoch

Veta 1.6.1 ([OSC]):

Oskulačná kružnica krivky $P(t)$ v bode $P_0 = P(t_0) = (x(t_0), y(t_0))$ je limitou polôh kružníč prechádzajúcich bodom P_0 a dvoma rôznymi bodmi $P_1 = P(t_1) = (x(t_1), y(t_1))$ a $P_2 = P(t_2) = (x(t_2), y(t_2))$, ktoré sa "blížia" k bodu P_0 , t.j. parametre t_1 a t_2 idú v limite k t_0 a platí, že $t_1 < t_0 < t_2$.

Dôkaz. Majme parametricky danú krivku a na nej tri body: P_0 , P_1 a P_2 také, že $t_1 < t_0 < t_2$. Nech k je kružnica vyjadrená rovnicou

$$k : (x - a)^2 + (y - b)^2 - r^2 = 0,$$

potom stred tejto kružnice má súradnice (a, b) a jej polomer je r . Nech táto kružnica prechádza bodmi P_0 , P_1 a P_2 . Platí teda:

$$\begin{aligned} (x(t_0) - a)^2 + (y(t_0) - b)^2 - r^2 &= 0 \\ (x(t_1) - a)^2 + (y(t_1) - b)^2 - r^2 &= 0 \\ (x(t_2) - a)^2 + (y(t_2) - b)^2 - r^2 &= 0 \end{aligned}$$

Definujme funkciu $g(t) = (x(t) - a)^2 + (y(t) - b)^2 - r^2$. Je zrejmé, že platí: $g(t_0) = g(t_1) = g(t_2) = 0$, pričom $t_1 < t_0 < t_2$.

Podľa Rolleho vety existujú také body $P_3 = P(t_3) = (x(t_3), y(t_3))$

a $P_4 = P(t_4) = (x(t_4), y(t_4))$, že $t_1 < t_3 < t_0$ a $t_0 < t_4 < t_2$ a pre deriváciu funkcie g platí: $g'(t_3) = g'(t_4) = 0$.

Z toho dostávame:

$$\begin{aligned} g'(t) &= 2((x(t) - a)x'(t) + (y(t) - b)y'(t)) \\ g'(t_3) &= 2((x(t_3) - a)x'(t_3) + (y(t_3) - b)y'(t_3)) = 0, \quad t_1 < t_3 < t_0 \\ g'(t_4) &= 2((x(t_4) - a)x'(t_4) + (y(t_4) - b)y'(t_4)) = 0, \quad t_0 < t_4 < t_2 \end{aligned}$$

Ak na funkciu $g'(t)$ opäť použijeme Rolleho vetu, dostaneme existenciu bodu $P_5 = P(t_5) = (x(t_5), y(t_5))$ takého, že $t_3 < t_5 < t_4$ a pre druhú deriváciu funkcie g platí: $g''(t_5) = 0$

Z toho dostávame:

$$\begin{aligned} g''(t) &= 2(((x'(t))^2 + (x(t) - a)x''(t))((y'(t))^2 + (y(t) - b)y''(t))) \\ g''(t_5) &= 2(((x'(t_5))^2 + (x(t_5) - a)x''(t_5)) + ((y'(t_5))^2 + (y(t_5) - b)y''(t_5))) = 0, \\ &\quad t_3 < t_5 < t_4 \end{aligned}$$

Prejdúc k limite pre t_1 a t_2 idúce k t_0 dostávame, že aj t_3 , t_4 a t_5 idú v limite k t_0 .

Z týchto skutočností dostávame tri rovnice s tromi neznámymi:

$$\begin{aligned} (x(t_0) - a)^2 + (y(t_0) - b)^2 - r^2 &= 0 \\ (x(t_0) - a)x'(t_0) + (y(t_0) - b)y'(t_0) &= 0 \\ (x'(t_0))^2 + (x(t_0) - a)x''(t_0) + (y'(t_0))^2 + (y(t_0) - b)y''(t_0) &= 0 \end{aligned}$$

Riešením tejto sústavy rovníc dostávame súradnice stredu kružnice a jej polomeru:

$$\begin{aligned} a &= x(t_0) - \frac{((x'(t_0))^2 + (y'(t_0))^2)y'(t_0)}{x'(t_0)y''(t_0) - x''(t_0)y'(t_0)} = x(t_0) - \frac{1}{k(t_0)} \frac{z(t_0)y'(t_0)}{\sqrt{(x'(t_0))^2 + (y'(t_0))^2}} \\ b &= y(t_0) + \frac{((x'(t_0))^2 + (y'(t_0))^2)x'(t_0)}{x'(t_0)y''(t_0) - x''(t_0)y'(t_0)} = y(t_0) + \frac{1}{k(t_0)} \frac{z(t_0)x'(t_0)}{\sqrt{(x'(t_0))^2 + (y'(t_0))^2}} \\ r &= \left| \frac{((x'(t))^2 + (y'(t))^2)}{x'(t_0)y''(t_0) - x''(t_0)y'(t_0)} \right| = \frac{1}{k(t_0)}, \end{aligned}$$

kde

Oskulačná kružnica rovinnej krivky

$$k(t_0) = \frac{x'(t_0)y''(t_0) - x''(t_0)y'(t_0)}{\left((x'(t_0))^2 + (y'(t_0))^2\right)^{\frac{3}{2}}}$$

je krivost krivky a

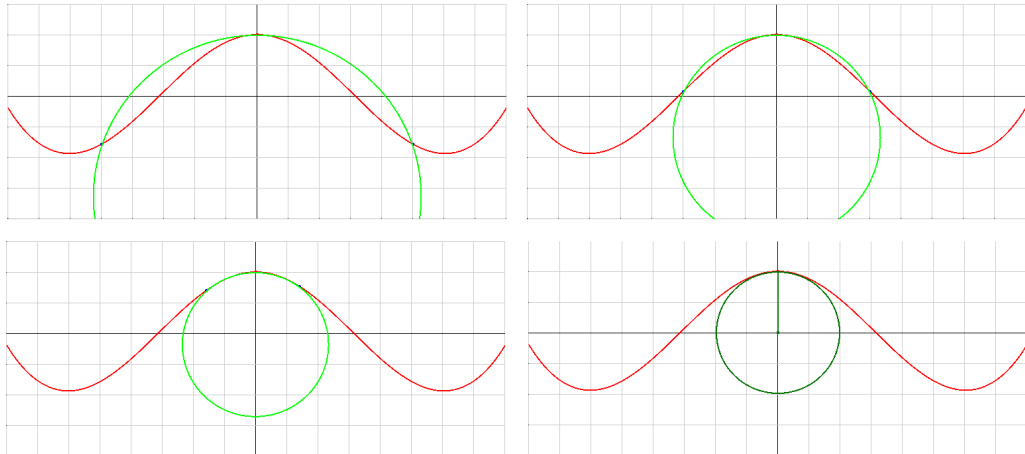
$$z(t_0) = \frac{|x'(t_0)y''(t_0) - x''(t_0)y'(t_0)|}{|x'(t_0)y''(t_0) - x''(t_0)y'(t_0)|} = \operatorname{sgn} \det(P'(t_0), P''(t_0)).$$

Všimnime si, že vektor

$$\left(-\frac{z(t_0)y'(t_0)}{\sqrt{(x'(t_0))^2 + (y'(t_0))^2}}, \frac{z(t_0)x'(t_0)}{\sqrt{(x'(t_0))^2 + (y'(t_0))^2}} \right)$$

je jednotkový normálový vektor danej krivky, preto $S = P(t_0) + \frac{1}{k(t_0)}\mathbf{n}(t_0)$.

Limitná kružnica je teda oskulačná kružnica krivky a je najtesnejšie priložená kružnica k rovinnej krivke v bode P_0 . □



Obr. 1.6: Oskulačná kružnica krivky P v bode P_0 ako limita bodov blížiacich sa k bodu P_0

Poznámka: Nech krivka je graf funkcie $y = f(x)$ a teda jej parametrizácia je $P(t) = (t, f(t))$, tak stred $S = (a, b)$ oskulačnej kružnice v bode $P_0 = P(t_0)$ bude mať súradnice

$$a = t_0 + \frac{1 + (f'(t_0))^2}{f''(t_0)} f'(t_0) \text{ a } b = f(t_0) + \frac{1 + (f'(t_0))^2}{f''(t_0)}$$

a jej polomer sa rovná prevrátenej hodnote krivosti v bode P_0 , t.j.

$$r = \frac{1}{k(t_0)} = \frac{(1 + (f'(t_0))^2)^{\frac{3}{2}}}{|f''(t_0)|}.$$

Oskulačná kružnica krivky je v bode krivky spomedzi všetkých kružníc prechádzajúcich daným bodom najtesnejšie priložená kružnica ku krivke. Prevrátená hodnota polomeru oskulačnej kružnice určuje krivost krivky v danom bode.

Základnými vlastnosťami oskulačnej kružnice sú:

- Kružnica prechádza bodom $P(t)$
- Kružnica a krivka majú v bode $P(t)$ spoločnú dotyčnicu a teda aj spoločnú normálu
- Krivka a oskulačná kružnica majú styk rádu 2 alebo vyšší

Všetky tieto vlastnosti oskulačnej kružnice sa dajú veľmi ľahko ukázať pomocou poznatkov, ktoré sú uvedené v tejto a v predchádzajúcich kapitolách.

Poznámka: Oskulačná kružnica a krivka majú v spoločnom bode rovnakú krivost rovnú $\frac{1}{r}$, kde r je polomer kružnice.

Kapitola 2

Vzťah rovinnej krivky k oskulačnej kružnici vo vrchole vyššieho rádu

V tejto kapitole práce zadefinujeme pojem vrchol krivky, uvedieme si príklady krieviek a ich vrcholov. V prevažnej časti kapitoly sa budeme zaoberať vzťahom rovinnej krivky k oskulačnej kružnici vo vrcholoch krivky aj v jej všeobecných bodoch. Vyslovené tvrdenia o ich vzájomnej polohe budeme vizualizovať pomocou programu vytvoreného k tejto práci.

2.1 Vrcholy rovinných kriviek

Kedzie hlavnou tému tejto práce je opísanie vzťahu rovinnej krivky k oskulačnej kružnici vo vrcholoch krivky, potrebujeme vedieť, čo vrchol rovinnej krivky predstavuje. Oskulačnú kružnicu rovinnej krivky sme definovali v kapitole 1. Na začiatku tejto kapitole práce zadefinujeme pojem vrchol rovinnej krivky a odlišime od seba obyčajné vrcholy krivky od vrcholov vyšších rádov.

Definícia 2.1.1 (Vrchol krivky [GIB01]):

Nech je daná rovinná krivka $P(t)$, $t \in I$ a nech $k(t)$ je jej krivosť. Vrcholom krivky nazývame taký bod $P(t_0)$, $t_0 \in I$, v ktorom má krivosť krivky stacionárny bod, teda $k'(t_0) = 0$. Vo všeobecnosti je teda vrcholom krivky taký bod, v ktorom má krivosť

lokálny extrém.

Poznámka: Pre krivky, ktoré majú konštantnú krivosť, je každý ich bod vrcholom. Príkladom takýchto kriviek sú priamky, úsečky, kružnice a kružnicové oblúky.

V predchádzajúcej definícii sa nič nehovorí o hodnote druhej a vyšších derivácií krivosti v t_0 . Práve tie umožnia odlišiť od seba obyčajné vrcholy krivky od vrcholov vyšších rádov.

Definícia 2.1.2 (Obyčajný vrchol krivky [BOŽ08]):

Nech je daná rovinná krivka $P(t)$, $t \in I$ a bod $P(t_0)$, $t_0 \in I$ je jej vrchol. Vrchol $P(t_0)$ sa nazýva obyčajný vrchol rovinnej krivky, ak pre krivosť krivky platí: $k'(t_0) = 0$ a $k''(t_0) \neq 0$. Obyčajný vrchol krivky budeme nazývať vrcholom prvého rádu.

Definícia 2.1.3 (Vrchol vyššieho rádu [GIB01]):

Nech je daná rovinná krivka $P(t)$, $t \in I$ a nech $P(t_0)$, $t_0 \in I$ je jej vrchol taký, že $k'(t_0) = 0, \dots, k^{(k)}(t_0) = 0$, $k \geq 2$. Potom vrchol $P(t_0)$ nazývame vrchol k -teho rádu krivky $P(t)$.

Poznámka: Z predchádzajúcej definície vyplýva, že vrchol k -teho môžeme považovať aj za vrchol $(k - 1)$ -ého rádu. Budeme však predpokladať, že ak o nejakom vrchole povieme, že je k -teho rádu, tak $k^{(k+1)}(t_0) \neq 0$ a teda už nemôže byť vyššieho rádu.

Poznámka: Body krivky, ktoré nie sú vrcholmi, nazývame všeobecné body krivky.

2.2 Príklady kriviek s vrcholmi vyšších rádov

V literatúre zaoberajúcej sa rovinnými krivkami a ich vrcholmi môžeme nájsť veľa príkladov kriviek, ktoré majú obyčajné vrcholy, teda vrcholy 1. rádu. Veľmi často uvádzaným príkladom takejto krivky je napríklad elipsa so 4 vrcholmi, 2 z nich sú hlavné a 2 vedľajšie. [BOŽ08]

Veľmi málo sa však v literatúre hovorí o vrcholoch vyšších rádov a ich príkladoch. Snahou vrámci tvorby tejto práce preto bolo nájsť všeobecný predpis, pomocou ktorého by sa dali nájsť vrcholy ľubovoľného rádu určitej skupiny kriviek. Vybranou skupinou kriviek sú grafy polynomických funkcií daných predpisom

$$y = f(x) = a_n x^n + \cdots + a_1 x + a_0, \text{ kde } n \in \mathbb{N} \text{ a } a_0, \dots, a_n \in \mathbb{R},$$

a keďže vrcholy vyššieho rádu úzko súvisia s deriváciami krivosti krivky, bola snaha nájsť všeobecný predpis pre n -tú deriváciu krivosti krivky.

Pre krivosť grafu funkcie $y = f(x)$ platí:

$$k = \frac{|f^{(2)}|}{(1 + f^{(1)2})^{\frac{3}{2}}}$$

Kedžže uvažujeme len o neiflexných bodoch krivky vyjadrenej grafom funkcie $y = f(x)$, tak krivosť v takýchto bodoch je rôzna od 0 a teda aj $f^{(2)} \neq 0$. Označme σ funkciu vyjadrujúcu znamienko druhej derivácie funkcie f , teda $\sigma = \operatorname{sgn} f^{(2)}$. Derivovaním vzťahu na výpočet krivosti sa ľahko dostanú predpisy na výpočet prvej a druhej derivácie krivosti:

$$\begin{aligned} k^{(1)} &= \sigma \left(\frac{f^{(3)}}{(1 + f^{(1)2})^{\frac{3}{2}}} - 3 \frac{f^{(1)} f^{(2)2}}{(1 + f^{(1)2})^{\frac{5}{2}}} \right) \\ k^{(2)} &= \sigma \left(\frac{f^{(4)}}{(1 + f^{(1)2})^{\frac{3}{2}}} - 3 \frac{f^{(2)3}}{(1 + f^{(1)2})^{\frac{5}{2}}} - 9 \frac{f^{(1)} f^{(2)} f^{(3)}}{(1 + f^{(1)2})^{\frac{5}{2}}} + 15 \frac{f^{(1)2} f^{(2)3}}{(1 + f^{(1)2})^{\frac{7}{2}}} \right) \end{aligned}$$

Rovnakým spôsobom sa dajú odvodiť aj vyššie derivácie krivosti. Vrámci tejto práce sa podarilo vyjadriť až štvrtú deriváciu krivosti grafu funkcie $y = f(x)$, a aj keď nejde o deriváciu vysokého stupňa, už aj tento vzťah je veľmi komplikovaný a obsahuje príliš veľa rôznych sčítancov. Platí:

$$k^{(3)} = \sigma \left(\frac{f^{(5)}}{(1 + f^{(1)2})^{\frac{3}{2}}} - 9 \frac{f^{(2)} f^{(3)}}{(1 + f^{(1)2})^{\frac{5}{2}}} - 9 \frac{f^{(2)2} f^{(3)}}{(1 + f^{(1)2})^{\frac{5}{2}}} - 9 \frac{f^{(1)} f^{(3)2}}{(1 + f^{(1)2})^{\frac{5}{2}}} \right)$$

$$\begin{aligned}
 & -12 \frac{f^{(1)} f^{(2)} f^{(4)}}{\left(1+f^{(1)2}\right)^{\frac{5}{2}}} + 45 \frac{f^{(1)} f^{(2)4}}{\left(1+f^{(1)2}\right)^{\frac{7}{2}}} + 45 \frac{f^{(1)2} f^{(2)} f^{(3)}}{\left(1+f^{(1)2}\right)^{\frac{7}{2}}} + 45 \frac{f^{(1)2} f^{(2)2} f^{(3)}}{\left(1+f^{(1)2}\right)^{\frac{7}{2}}} \\
 & -105 \frac{f^{(1)3} f^{(2)4}}{\left(1+f^{(1)2}\right)^{\frac{9}{2}}} \\
 k^{(4)} = \sigma \left(\begin{aligned}
 & \frac{f^{(6)}}{\left(1+f^{(1)2}\right)^{\frac{3}{2}}} - 9 \frac{f^{(2)} f^{(4)}}{\left(1+f^{(1)2}\right)^{\frac{5}{2}}} - 9 \frac{f^{(3)2}}{\left(1+f^{(1)2}\right)^{\frac{5}{2}}} - 15 \frac{f^{(1)} f^{(2)} f^{(5)}}{\left(1+f^{(1)2}\right)^{\frac{5}{2}}} \\
 & -21 \frac{f^{(2)2} f^{(4)}}{\left(1+f^{(1)2}\right)^{\frac{5}{2}}} - 27 \frac{f^{(2)} f^{(3)2}}{\left(1+f^{(1)2}\right)^{\frac{5}{2}}} - 30 \frac{f^{(1)} f^{(3)} f^{(4)}}{\left(1+f^{(1)2}\right)^{\frac{5}{2}}} + 45 \frac{f^{(2)5}}{\left(1+f^{(1)2}\right)^{\frac{7}{2}}} \\
 & +45 \frac{f^{(1)2} f^{(3)2}}{\left(1+f^{(1)2}\right)^{\frac{7}{2}}} + 45 \frac{f^{(1)2} f^{(2)} f^{(4)}}{\left(1+f^{(1)2}\right)^{\frac{7}{2}}} + 105 \frac{f^{(1)2} f^{(2)2} f^{(4)}}{\left(1+f^{(1)2}\right)^{\frac{7}{2}}} + 105 \frac{f^{(1)} f^{(2)2} f^{(3)}}{\left(1+f^{(1)2}\right)^{\frac{7}{2}}} \\
 & +135 \frac{f^{(1)2} f^{(2)} f^{(3)2}}{\left(1+f^{(1)2}\right)^{\frac{7}{2}}} + 315 \frac{f^{(1)} f^{(2)3} f^{(3)}}{\left(1+f^{(1)2}\right)^{\frac{7}{2}}} - 315 \frac{f^{(1)3} f^{(2)2} f^{(3)}}{\left(1+f^{(1)2}\right)^{\frac{9}{2}}} - 630 \frac{f^{(1)2} f^{(2)5}}{\left(1+f^{(1)2}\right)^{\frac{9}{2}}} \\
 & -735 \frac{f^{(1)3} f^{(2)3} f^{(3)}}{\left(1+f^{(1)2}\right)^{\frac{9}{2}}} + 945 \frac{f^{(1)4} f^{(2)5}}{\left(1+f^{(1)2}\right)^{\frac{11}{2}}}
 \end{aligned} \right)
 \end{aligned}$$

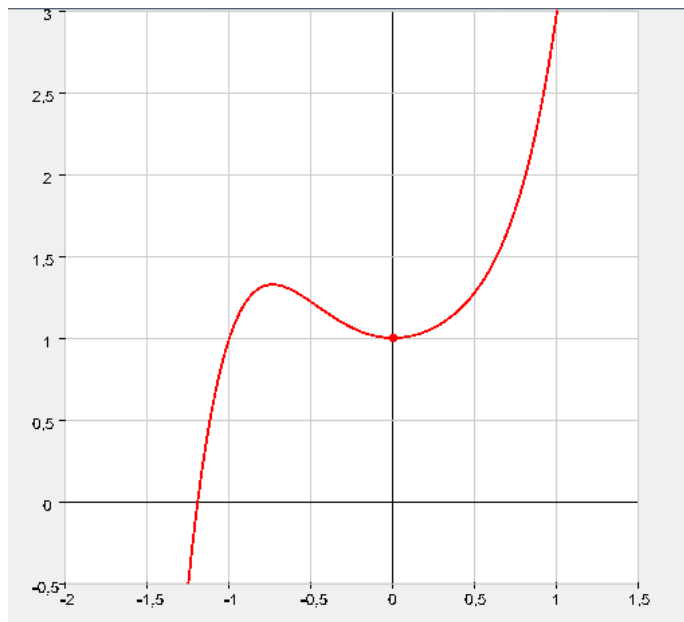
Žiaľ, pomocou týchto výpočtov sa nepodarilo nájsť všeobecný predpis na výpočet n -tej derivácie krivosti, keďže sa to ukázala byť náročná a dlhá cesta a táto úloha nebola hlavnou súčasťou tejto práce. Tieto výpočty však pomohli nájsť príklady kriviek, ktoré majú vrcholy vyšších rádov.

Veta 2.2.1 (Príklady kriviek s vrcholmi prvého rádu):

Nech máme krivku vyjadrenú grafom polynomickej funkcie s predpisom $y = f(x) = a_n x^n + \dots + a_1 x + a_0$, kde $n \in \mathbb{N}$ a $a_0, \dots, a_n \in \mathbb{R}$. Potom krivky $f(x) = x^5 + x^2 + a_0$, $f(x) = x^7 + x^2 + a_0$ a $f(x) = x^7 + x^6 + x^4 + x^2 + a_0$ majú v bode $x = 0$ vrcholy prvého rádu.

Dôkaz. Nech $f(x) = x^5 + x^2 + a_0$. Derivovaním tejto funkcie dostaneme: $f^{(1)}(x) = 5x^4 + 2x$, $f^{(2)}(x) = 20x^3 + 2$, $f^{(3)}(x) = 60x^2$, $f^{(4)}(x) = 120x$. Pre $x = 0$ teda máme: $f^{(1)}(0) = 0$, $f^{(2)}(0) = 2$, $f^{(3)}(0) = 0$, $f^{(4)}(0) = 0$. Dosadením týchto rovností do vzťahov pre výpočet krivosti a jej derivácií dostávame: $k(0) = 2 \neq 0$, $k^{(1)}(0) = 0$ a $k^{(2)}(0) = -24 \neq 0$. Podľa definície vrcholu prvého rádu má teda táto krivka v bode $x = 0$ obyčajný vrchol.

Úplne analogicky sa ukáže, že aj $f(x) = x^7 + x^2 + a_0$ a $f(x) = x^7 + x^6 + x^4 + x^2 + a_0$ majú v bode $x = 0$ vrchol prvého rádu. \square



Obr. 2.1: Krivka daná predpisom $f(x) = x^5 + x^2 + 1$ majúca v bode $x = 0$ vrchol prvého rádu

Veta 2.2.2 (Príklady kriviek s vrcholmi druhého rádu):

Nech máme krivku vyjadrenú grafom polynomickej funkcie s predpisom $y = f(x) = a_nx^n + \dots + a_1x + a_0$, kde $n \in \mathbb{N}$ a $a_0, \dots, a_n \in \mathbb{R}$. Potom krivky $f(x) = x^6 + x^5 + x^4 + x^2 + a_0$, a $f(x) = x^5 + a^3x^4 + ax^2 + a_0$, kde $a \in \mathbb{R}$, majú v bode $x = 0$ vrchol druhého rádu.

Dôkaz. Nech $f(x) = x^6 + x^5 + x^4 + x^2 + a_0$. Derivovaním tejto funkcie dostaneme:

$$f^{(1)}(x) = 6x^5 + 5x^4 + 4x^3 + 2x, \quad f^{(2)}(x) = 30x^4 + 20x^3 + 12x^2 + 2,$$

$$f^{(3)}(x) = 120x^3 + 60x^2 + 24x, \quad f^{(4)}(x) = 360x^2 + 120x + 24, \quad f^{(5)}(x) = 720x + 120.$$

Pre $x = 0$ teda máme: $f^{(1)}(0) = 0$, $f^{(2)}(0) = 2$, $f^{(3)}(0) = 0$, $f^{(4)}(0) = 24$ a $f^{(5)} = 120$.

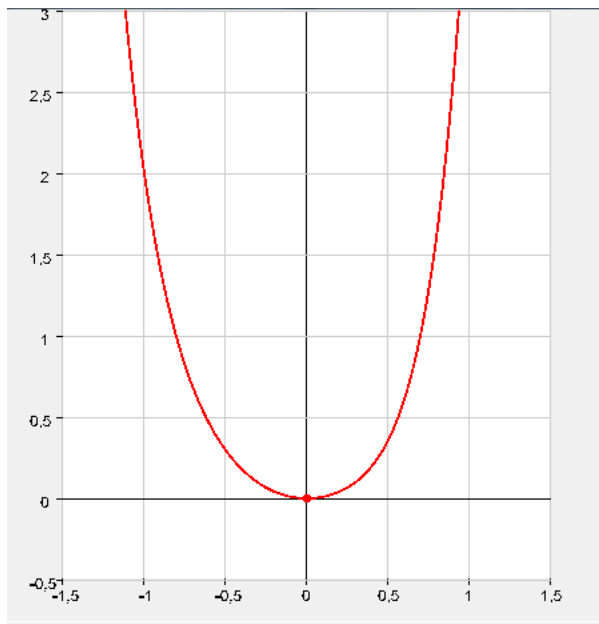
Dosadením týchto rovností do vzťahov pre výpočet krivosti a jej derivácií dostávame:

$$k(0) = 2 \neq 0, \quad k^{(1)}(0) = 0, \quad k^{(2)}(0) = 24 - 3 \cdot 2^3 = 24 - 24 = 0 \text{ a } k^{(3)}(0) = 120 \neq 0.$$

Podľa definície vrcholu vyššieho rádu má teda táto krivka v bode $x = 0$ vrchol

druhého rádu.

Úplne analogicky sa ukáže, že aj $f(x) = x^5 + a^3x^4 + ax^2 + a_0$, kde $a \in \mathbb{R}$, má v bode $x = 0$ vrchol druhého rádu. \square



Obr. 2.2: Krivka daná predpisom $f(x) = x^6 + x^5 + x^4 + x^2$ majúca v bode $x = 0$ vrchol druhého rádu

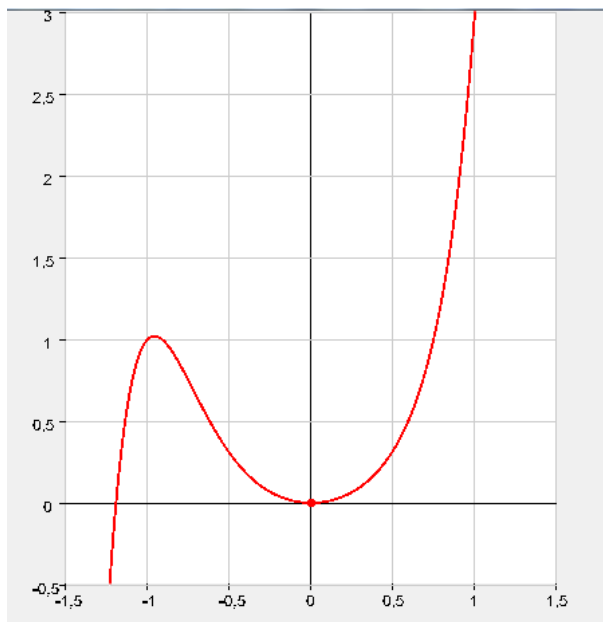
Veta 2.2.3 (Príklady kriviek s vrcholmi tretieho rádu):

Nech máme krivku vyjadrenú grafom polynomickej funkcie s predpisom $y = f(x) = a_nx^n + \dots + a_1x + a_0$, kde $n \in \mathbb{N}$ a $a_0, \dots, a_n \in \mathbb{R}$. Potom krivky $f(x) = x^7 + x^4 + x^2 + a_0$, $f(x) = x^6 + a^3x^4 + ax^2 + a_0$, kde $a \in \mathbb{R}$, $f(x) = x^7 + x^2 + a_0$ majú v bode $x = 0$ vrchol tretieho rádu.

Dôkaz. Nech $f(x) = x^7 + x^4 + x^2 + a_0$. Derivovaním tejto funkcie dostaneme: $f^{(1)}(x) = 7x^6 + 4x^3 + 2x$, $f^{(2)}(x) = 42x^5 + 12x^2 + 2$, $f^{(3)}(x) = 210x^4 + 24x$, $f^{(4)}(x) = 840x^3 + 24$, $f^{(5)}(x) = 2520x^2$ a $f^{(6)}(x) = 5040x$. Pre $x = 0$ teda máme: $f^{(1)}(0) = 0$, $f^{(2)}(0) = 2$, $f^{(3)}(0) = 0$, $f^{(4)}(0) = 24$, $f^{(5)}(0) = 0$ a $f^{(6)}(0) = 0$. Dosadením týchto rovností do vzťahov pre výpočet krivosti a jej derivácií dostávame: $k(0) = 2 \neq 0$, $k^{(1)}(0) = 0$, $k^{(2)}(0) = 24 - 3 \cdot 2^3 = 24 - 24 = 0$, $k^{(3)}(0) = 0$.

a $k^{(4)}(0) = -21 \cdot 2^2 \cdot 24 - 9 \cdot 2 \cdot 24 + 45 \cdot 2^5 = -2016 - 432 + 1440 = -1008 \neq 0$. Podľa definície vrcholu vyššieho rádu má teda táto krivka v bode $x = 0$ vrchol tretieho rádu.

Úplne analogicky sa ukáže, že aj $f(x) = x^6 + a^3x^4 + ax^2 + a_0$, kde $a \in \mathbb{R}$, $f(x) = x^7 + x^2 + a_0$ majú v bode $x = 0$ vrchol tretieho rádu. \square



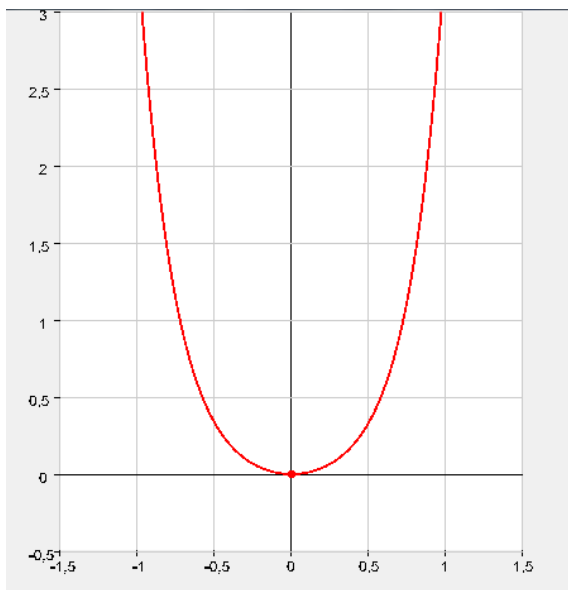
Obr. 2.3: Krivka daná predpisom $f(x) = x^7 + x^4 + x^2$ majúca v bode $x = 0$ vrchol tretieho rádu

Veta 2.2.4 (Príklad krivky s vrcholom štvrtého rádu):

Nech máme krivku vyjadrenú grafom polynomickej funkcie s predpisom $y = f(x) = a_nx^n + \dots + a_1x + a_0$, kde $n \in \mathbb{N}$ a $a_0, \dots, a_n \in \mathbb{R}$. Potom krivka $f(x) = 1,4x^6 + x^4 + x^2 + a_0$ má v bode $x = 0$ vrchol štvrtého rádu alebo vyšší.

Dôkaz. Nech $f(x) = 1,4x^6 + x^4 + x^2 + a_0$. Derivovaním tejto funkcie dostaneme: $f^{(1)}(x) = 8,4x^5 + 4x^3 + 2x$, $f^{(2)}(x) = 42x^4 + 12x^2 + 2$, $f^{(3)}(x) = 168x^3 + 24x$, $f^{(4)}(x) = 504x^2 + 24$, $f^{(5)}(x) = 1008x$, $f^{(6)}(x) = 1008$ a $f^{(7)}(x) = 0$. Pre $x = 0$ teda máme: $f^{(1)}(0) = 0$, $f^{(2)}(0) = 2$, $f^{(3)}(0) = 0$, $f^{(4)}(0) = 24$, $f^{(5)}(0) = 0$, $f^{(6)}(0) = 1008$ a $f^{(7)}(0) = 0$. Dosadením týchto rovností do vzťahov pre výpočet krivosti a jej

derivácií dostávame: $k(0) = 2 \neq 0$, $k^{(1)}(0) = 0$, $k^{(2)}(0) = 24 - 3 \cdot 2^3 = 24 - 24 = 0$, $k^{(3)}(0) = 0$, $k^{(4)}(0) = 1008 - 21 \cdot 2^2 \cdot 24 - 9 \cdot 2 \cdot 24 + 45 \cdot 2^5 = 1008 - 2016 - 432 + 1440 = 1008 - 1008 = 0$. Podľa definície vrcholu vyššieho rádu má teda táto krivka v bode $x = 0$ vrchol aspoň štvrtého rádu. Keďže nepoznáme hodnotu vyšších derivácií krivosti v bode $x = 0$, presný rád vrcholu nevieme určiť. \square



Obr. 2.4: Krivka daná predpisom $f(x) = 1,4x^6 + x^4 + x^2$ majúca v bode $x = 0$ vrchol aspoň štvrtého rádu

Pomocou predchádzajúcich viet sme ukázali, že naozaj existujú krivky, ktoré majú aj vrcholy vyššieho rádu ako prvého.

2.3 Oskulačná kružnica krivky vo všeobecnom bode a v obyčajnom vrchole

Nech je daná krivka P . Vieme, že k tejto krivke vieme v každom jej bode $P(t)$ zestrojiť oskulačnú kružnicu, ktorá bude mať s danou krivkou spoločný práve bod $P(t)$, jej stred bude ležať na normále tejto krivky zostrojenej v bode $P(t)$ a jej polomer sa bude rovnať prevrátenej hodnote krivosti krivky v bode $P(t)$.

Oskulačná kružnica krivky v danom bode dáva základnú predstavu o tvare rovinnej krivky v okolí tohto bodu. V tejto kapitole ukážeme, aká je poloha oskulačnej kružnice vzhľadom na krivku v okolí jej bodu, v ktorom je zostorjená. Budeme uvažovať zatiaľ len o všeobecnom bode krivky a o obyčajnom vrchole krivky.

V celej kapitole budeme uvažovať krivku danú prirodzenou parametrizáciou $P(s) = (x(s), y(s))$, $s \in I$, kde I je interval. Danú krivku budeme skúmať v neinxlexnom bode. Prirodzená parametrizácia má viacero dôležitých vlastností, pripomeňme najdôležitejšie z nich:

- V prirodzenej parametrizácii je bod neinflexný práve vtedy, ak $P''(s) \neq 0$
- V prirodzenej parametrizácii má vektor prvej derivácie danej krivky jednotkovú dĺžku, platí teda: $|P'(s)| = 1$
- Vektory prvej a druhej derivácie sú pre krivku danú prirodzenou parametrizáciou na seba kolmé, teda pre ich skalárny súčin platí: $P'(s) P''(s) = 0$
- V prirodzenej parametrizácii je krivosť krivky vyjadrená nasledovným vzťahom: $k(s) = |P''(s)|$
- V každom bode krivky vieme dotykový a normálový vektor krivky vyjadriť vzťahmi $\mathbf{t}(s) = P'(s)$ a $\mathbf{n}(s) = \frac{P''(s)}{|P''(s)|} = \frac{P''(s)}{k(s)}$

Veľmi dôležitým nástrojom, ktoré opisujú krivky, sú Frenetove vzorce. Tieto vzorce pre rovinnú krivku vyjadrujú derivácie jednotkového dotykového a jednotkového normálového vektora krivky. Ak je krivka daná prirodzenou parametrizácou, majú tieto vzorce tvar:

$$\mathbf{t}'(s) = k(s) \mathbf{n}(s)$$

$$\mathbf{n}'(s) = -k(s) \mathbf{t}(s)$$

Kedže v tejto kapitole budeme pozorovať, ako sa správa oskulačná kružnica krivky v danom bode vzhľadom ku krivke, pripomeňme, ako sú vyjadrené stred a polomer

tejto kružnice v prirodzenej parametrizácii. Pre stred S kružnice platí $S(s) = P(s) + r(s)\mathbf{n}(s)$, kde r je polomer vyjadrený vzťahom $r(s) = \frac{1}{k(s)}$. Majme danú krvku P prirodzenou parametrizáciou a na nej neinflexný bod $P(s_0)$. V tomto bode nech je daná oskulačná kružnica krvky so stredom v $S(s_0)$ a s polomerom $r(s_0)$.

Pre body blízke bodu $P(s_0)$, teda pre parametre blízke s_0 chceme zistiť, aká je poloha bodov $P(s)$ vzhľadom na oskulačnú kružnicu kružnicu zstrojenú v bode $P(s_0)$. Táto úloha je ekvivalentná tomu, že budeme pozorovať, ako sa mení vzdialenosť týchto bodov od stredu $S(s_0)$ oskulačnej kružnice.

Zstrojme funkciu $g : I \rightarrow \mathbb{R}$, ktorá každému parametru $s \in I$ priradí vzdialosť bodu $P(s)$ od bodu $S(s_0)$:

$$g(s) = |P(s)S(s_0)|, s \in I$$

Kedže budeme potrebovať derivácie tejto funkcie, je vhodné si ju nahradieť funkciou $f(s) = g^2(s)$, ktorá má rovnaký priebeh aj rovnaké extrémy, ako funkcia g , ale ľahšie sa derivuje. Predpis tejto funkcie vyzerá takto:

$$f(s) = g^2(s) = |P(s)S(s_0)|^2$$

Upravme predpis tejto funkcie použitím vyjadrenia stredu $S(s_0)$, Frenetových vzorcov a rovnosti $\mathbf{n}(s)\mathbf{n}(s) = 1$ pre každé $s \in I$:

$$\begin{aligned} f(s) &= |P(s)S(s_0)|^2 = (S(s_0) - P(s))(S(s_0) - P(s)) = (S(s_0) - P(s))^2 \\ &= ((P(s_0) + r(s_0)\mathbf{n}(s_0)) - P(s))^2 = ((P(s_0) - P(s)) + r(s_0)\mathbf{n}(s_0))^2 \\ &= (P(s) - P(s_0))^2 - 2r(s_0)\mathbf{n}(s_0)(P(s) - P(s_0)) + r^2(s_0) \end{aligned}$$

Kedže tento predpis funkcie je už o niečo komplikovanejší, zjednodušíme ho zavedením nových označení. Označme $\Delta(s) = P(s) - P(s_0)$. Aby sme si ešte viac sprehľadnili zápis, parameter s budeme väčšinou zo zápisu vyniechať a miesto parametra s_0 budeme jednoducho písat index 0, napríklad $P(s_0) = P_0$, $r(s_0) = r_0$,

$\mathbf{n}(s_0) = \mathbf{n}_0$, atď.

Týmto sa nám aj zápis funkcie f omnoho zjednoduší:

$$f = \Delta^2 - 2r_0\mathbf{n}_0\Delta + r_0^2$$

Máme teraz daný predpis funkcie, ktorá opisuje, ako sa mení vzdialosť bodu $P(s)$ na krivke od stredu oskulačnej kružnice. [BOŽ08]

Naším cieľom je ukázať, že vo všeobecnom bode krivky krivka prechádza z jednej strany oskulačnej kružnice na druhú stranu, kým v obyčajnom vrchole krivky leží krivka na jednej strane oskulačnej kružnice, buď zvonka alebo vnútri nej.

Pripomeňme si, že pojem obyčajný vrchol krivky súvisí s jej krivostou. V takomto bode krivky je krivost stacionárna a platí pre ňu, že $k'(t_0) = 0$ a $k''(t_0) \neq 0$. Bod krivky je všeobecným bodom, ak pre krivost v tomto bode platí: $k'(t_0) \neq 0$.

Po dôkladnejšom skúmaní funkcie f a jej prvých derivácií v parametri s_0 zistíme, že majú súvis s krivostou krivky v tomto parametri. Pomocou nich vieme dokázať vyslovené tvrdenia o polohe oskulačnej kružnice.

Veta 2.3.1 ([BOŽ08]):

Majme danú funkciu $f(s) = \Delta^2(s) - 2r(s_0)\mathbf{n}(s_0)\Delta(s) + r^2(s_0)$, kde $\Delta(s) = P(s) - P(s_0)$. Pre prvé štyri derivácie tejto funkcie v ľubovoľnom čísle $s \in I$ platí:

$$1. f^{(1)}(s) = 2(\Delta(s) - r(s_0)\mathbf{n}(s_0))\mathbf{t}(s) = 2(\Delta - r_0\mathbf{n}_0)\mathbf{t}$$

$$2. f^{(2)}(s) = 2((\Delta(s) - r(s_0)\mathbf{n}(s_0))k(s)\mathbf{n}(s) + 1) = 2((\Delta - r_0\mathbf{n}_0)k\mathbf{n} + 1)$$

$$\begin{aligned} 3. f^{(3)}(s) &= 2(\Delta(s) - r(s_0)\mathbf{n}(s_0))(-k^2(s)\mathbf{t}(s) + k^{(1)}(s)\mathbf{n}(s)) \\ &= 2(\Delta - r_0\mathbf{n}_0)(-k^2\mathbf{t} + k^{(1)}\mathbf{n}) \end{aligned}$$

$$\begin{aligned} 4. f^{(4)}(s) &= 2((\Delta(s) - r(s_0)\mathbf{n}(s_0))(\alpha_4(s)\mathbf{t}(s) + \beta_4(s)\mathbf{n}(s)) + \gamma_4(s)) \\ &= 2((\Delta - r_0\mathbf{n}_0)(-3kk^{(1)}\mathbf{t} + (-k^3 + k^{(2)})\mathbf{n}) - k^2), \end{aligned}$$

$$\text{kde } \alpha_4(s) = -3k(s)k^{(1)}(s), \beta_4(s) = -k^3(s) + k^{(2)}(s) \text{ a } \gamma_4(s) = -k^2(s)$$

Dôkaz. Vetu dokážeme postupným derivovaním funkcie f . Pre deriváciu funkcie Δ platí: $\Delta' = P' = \mathbf{t}$

1. Derivujme funkciu f :

$$\begin{aligned} f^{(1)} &= (\Delta^2 - 2r_0\mathbf{n}_0\Delta + r_0^2)' = 2\Delta\Delta' - 2r_0\mathbf{n}_0\Delta' = 2(\Delta - r_0\mathbf{n}_0)\Delta' \\ &= 2(\Delta - r_0\mathbf{n}_0)\mathbf{t} \end{aligned}$$

Týmto je prvý vzťah dokázaný.

2. Derivujme teraz funkciu $f^{(1)}$:

$$f^{(2)} = (2(\Delta - r_0\mathbf{n}_0)\mathbf{t})' = 2(\Delta'\mathbf{t} + (\Delta - r_0\mathbf{n}_0)\mathbf{t}')$$

Použitím Frenetovho vzorca $\mathbf{t}' = k\mathbf{n}$ a rovnosti $\mathbf{t}\mathbf{t} = 1$ dostávame:

$$f^{(2)} = 2(\mathbf{t}\mathbf{t} + (\Delta - r_0\mathbf{n}_0)k\mathbf{n}) = 2((\Delta - r_0\mathbf{n}_0)k\mathbf{n} + 1)$$

3. Ďalším derivovaním dostávame $f^{(3)}$:

$$\begin{aligned} f^{(3)} &= 2((\Delta - r_0\mathbf{n}_0)k\mathbf{n} + 1)' = 2(\Delta'k\mathbf{n} + (\Delta - r_0\mathbf{n}_0)(k\mathbf{n})') \\ &= 2(k\mathbf{n}\mathbf{t} + (\Delta - r_0\mathbf{n}_0)(k'\mathbf{n} + k\mathbf{n}')) \end{aligned}$$

Použijeme teraz Frenetov vzorec pre deriváciu normálového vektora: $\mathbf{n}' = -k\mathbf{t}$.

Okrem toho vieme, že platí: $\mathbf{n}\mathbf{t} = 0$, keďže sú tieto vektori na seba kolmé.

$$f^{(3)} = 2(\Delta - r_0\mathbf{n}_0)(k'\mathbf{n} - k^2\mathbf{t})$$

4. Štvrtú deriváciu funkcie f dostaneme opäť priamou deriváciou predchádzajúcej:

$$\begin{aligned} f^{(4)} &= (2(\Delta - r_0 \mathbf{n}_0)(k' \mathbf{n} - k^2 \mathbf{t}))' \\ &= 2 \left(\Delta' (k' \mathbf{n} - k^2 \mathbf{t}) + (\Delta - r_0 \mathbf{n}_0) (k' \mathbf{n} - k^2 \mathbf{t})' \right) \\ &= 2 \left(\mathbf{t} (k' \mathbf{n} - k^2 \mathbf{t}) + (\Delta - r_0 \mathbf{n}_0) (k'' \mathbf{n} + k' \mathbf{n}' - 2kk' \mathbf{t} - k^2 \mathbf{t}') \right) \end{aligned}$$

Použitím vzťahov, ktoré boli uvedené v predchádzajúcich krokoch dôkazu dostávame:

$$\begin{aligned} f^{(4)} &= 2 \left(-k^2 + (\Delta - r_0 \mathbf{n}_0) (k'' \mathbf{n} - kk' \mathbf{t} - 2kk' \mathbf{t} - k^3 \mathbf{n}) \right) \\ &= 2 \left((\Delta - r_0 \mathbf{n}_0) (-3kk' \mathbf{t} + (-k^3 + k'') \mathbf{n}) - k^2 \right) \end{aligned}$$

Tým je veta dokázaná. □

Pomocou tejto vety teraz už ľahko ukážeme, aké sú hodnoty týchto derivácií funkcie $f(s)$ v parametri s_0 . Hovorí o tom nasledujúca veta:

Veta 2.3.2 ([BOŽ08]):

Hodnoty prvých derivácií funkcie f v parametri s_0 sú:

1. $f^{(1)}(s_0) = 0$
2. $f^{(2)}(s_0) = 0$
3. $f^{(3)}(s_0) = -2r(s_0)k^{(1)}(s_0)$
4. $f^{(4)}(s_0) = -2r(s_0)k^{(2)}(s_0)$

Dôkaz. Tieto vzťahy dostaneme priamym dosadením do derivácií funkcie f a využitím už známych vzťahov, pričom je treba si uvedomiť, že $\Delta(s_0) = 0$ a $r(s_0)k(s_0) = r_0k_0 = \frac{1}{k_0}k_0 = 1$:

1. $f^{(1)}(s_0) = 2(\Delta_0 - r_0 \mathbf{n}_0) \mathbf{t}_0 = 0$
2. $f^{(2)}(s_0) = 2((\Delta_0 - r_0 \mathbf{n}_0)k_0 \mathbf{n}_0 + 1) = -1 + 1 = 0$

$$3. \quad f^{(3)}(s_0) = 2(\Delta_0 - r_0 \mathbf{n}_0) \left(-k_0^2 \mathbf{t}_0 + k_0^{(1)} \mathbf{n}_0 \right) = 2(-r_0 \mathbf{n}_0) \left(-k_0^2 \mathbf{t}_0 + k_0^{(1)} \mathbf{n}_0 \right) \\ = -2r_0 k_0^{(1)} \mathbf{n}_0 \mathbf{n}_0 = -2r_0 k_0^{(1)}$$

$$4. \quad f^{(4)}(s_0) = 2 \left((\Delta_0 - r_0 \mathbf{n}_0) \left(-3k_0 k_0^{(1)} \mathbf{t}_0 + \left(-k_0^3 + k_0^{(2)} \right) \mathbf{n}_0 \right) - k_0^2 \right) \\ = -2r_0 \mathbf{n}_0 \left(-3k_0 k_0^{(1)} \mathbf{t}_0 + \left(-k_0^3 + k_0^{(2)} \right) \mathbf{n}_0 \right) - 2k_0^2 \\ = -2r_0 \left(-k_0^3 + k_0^{(2)} \right) \mathbf{n}_0 \mathbf{n}_0 - 2k_0^2 = 2r_0 k_0^3 - 2r_0 k_0^{(2)} - 2k_0^2 \\ = -2r_0 k_0^{(2)}$$

□

Z tejto vety vidíme, že derivácie funkcie v s_0 majú naozaj súvis s krivostou krvky. V tejto časti uvedieme ešte jednu pomocnú vetu, ktorá spolu s predchádzajúcimi bude slúžiť k sformulovaniu a dôkazu tvrdenia o vzťahu oskulačnej kružnice a krvky vo všeobecnom bode a v obyčajnom vrchole.

Veta 2.3.3 ([JAR63]):

Nech je daná funkcia $\varphi : I \rightarrow \mathbb{R}$ taká, že: $\varphi^{(1)}(x_0) = 0, \dots, \varphi^{(n-1)}(x_0) = 0$ a $\varphi^{(n)}(x_0) \neq 0$, $n > 1$. Potom platí:

- ak n je nepárne, tak funkcia φ má v bode x_0 ostrý lokálny extrém. V prípade, že $\varphi^{(n)}(x_0) < 0$, ide o ostré lokálne maximum funkcie v tomto bode, v prípade, že $\varphi^{(n)}(x_0) > 0$ ide o ostré lokálne minimum funkcie v tomto bode.
- ak n je párne, tak funkcia φ je v bode x_0 lokálne monotónna. V prípade, že $\varphi^{(n)}(x_0) < 0$, φ je v okolí bodu x_0 klesajúca, v prípade, že $\varphi^{(n)}(x_0) > 0$, φ je v okolí bodu x_0 rastúca.

Na základe týchto tvrdení sformulujeme nasledovné vety:

Veta 2.3.4 (Oskulačná kružnica krvky vo všeobecnom bode [BOŽ08]):

Nech je daná krvka $P(s)$ prirodzenou parametrizáciou. Nech $P(s_0)$ je všeobecný bod tejto krvky. V bode $P(s_0)$ rovinnej krvky, ktorý nie je vrcholom, je krivosť ostro monotónna. Krvka prechádza z jednej strany oskulačnej kružnice na druhú, pričom dovnútra kružnice vchádza v smere rastúcej krivosti.

Dôkaz. Vychádzame z toho, že bod $P(s_0)$ je všeobecným bodom krivky, z čoho vyplýva, že pre krivosť v parametri s_0 platí: $k'(s_0) \neq 0$. Z vety o priebehu funkcie vyplýva, že krivosť krivky je v s_0 ostro monotónna, pričom je klesajúca pre $k'(s_0) < 0$ a rastúca pre $k'(s_0) > 0$. Prvá časť vety je tým dokázaná.

Zoberme si teraz funkciu $f(s) = |P(s)S(s_0)|^2$ a jej derivácie v bode s_0 . Podľa predchádzajúcej vety platí:

$f^{(1)}(s_0) = 0$, $f^{(2)}(s_0) = 0$, $f^{(3)}(s_0) = -2r(s_0)k^{(1)}(s_0) \neq 0$, keďže $k^{(1)}(s_0) \neq 0$. Znova použijeme vetu o pribehu funkcie tentoraz na funkciu f . Funkcia $f(s)$ je teda ostro monotónna v číslе s_0 , pričom klesá pre $f^{(3)}(s_0) < 0$ a rastie pre $f^{(3)}(s_0) > 0$. Znamienko funkcie $f^{(3)}(s_0) = -2r(s_0)k^{(1)}(s_0)$ závisí len od znamienka prvej derivácie krivosti krivky v s_0 , keďže polomer je kladný pre každé $s \in I$. Navyše jej znamienko je opačné, ako je znamienko $k^{(1)}(s_0)$. Platí teda:

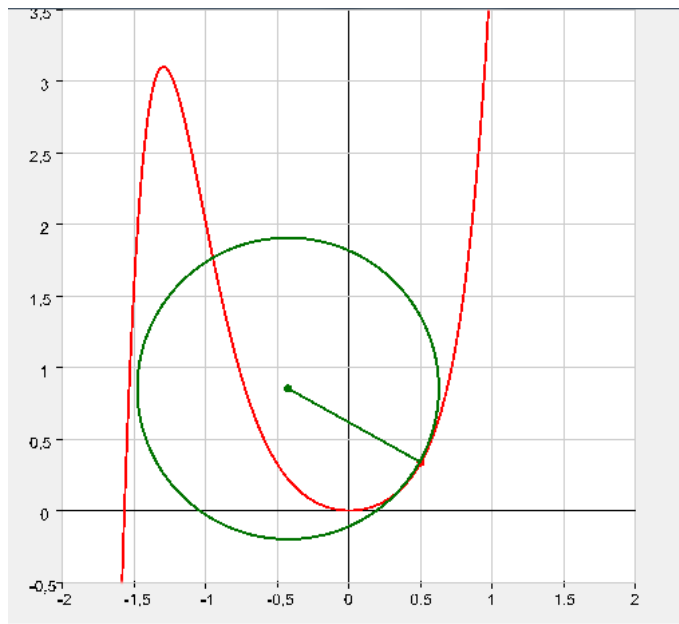
1. Ak $k^{(1)}(s_0) < 0$, tak $f^{(3)}(s_0) > 0$. Potom krivosť krivky s rastúcim s klesá a zároveň funkcia f s rastúcim s rastie. To znamená, že pre s väčšie ako s_0 vzdialenosť bodov $P(s)$ od stredu oskulačnej kružnice $S(s_0)$ v bode $P(s_0)$ rastie, preto pre s väčšie ako s_0 ležia body $P(s)$ zvonka tejto kružnice. Naopak pre s menšie ako s_0 vzdialenosť bodov $P(s)$ od stredu oskulačnej kružnice $S(s_0)$ v bode $P(s_0)$ klesá, preto pre s menšie ako s_0 ležia body $P(s)$ vnútri tejto kružnice.
2. Ak $k^{(1)}(s_0) > 0$, tak $f^{(3)}(s_0) < 0$. Potom krivosť krivky s rastúcim s rastie a zároveň funkcia f s rastúcim s klesá. To znamená, že pre s väčšie ako s_0 vzdialenosť bodov $P(s)$ od stredu oskulačnej kružnice $S(s_0)$ v bode $P(s_0)$ klesá, preto pre s väčšie ako s_0 ležia body $P(s)$ vnútri tejto kružnice. Naopak pre s menšie ako s_0 vzdialenosť bodov $P(s)$ od stredu oskulačnej kružnice $S(s_0)$ v bode $P(s_0)$ rastie, preto pre s menšie ako s_0 ležia body $P(s)$ zvonka tejto kružnice.

V oboch prípadoch krivka vchádza do oskulačnej kružnice v smere rastúcej krivosti.

□

Veta 2.3.5 (Oskulačná kružnica krivky v obyčajnom vrchole [BOŽ08]):

Nech je daná krivka $P(s)$ prirodzenou parametrizáciou. Nech $P(s_0)$ je obyčajný



Obr. 2.5: Oskulačná kružnica krivky v nevrchole, krivka prechádza z jednej strany kružnice na druhú

vrchol tejto krivky. V obyčajnom vrchole $P(s_0)$ rovinnej krivky má krivosť ostrý lokálny extrém. Rovinná krivka ostáva v blízkosti vrchola na jednej strane oskulačnej kružnice, pričom pri lokálном minime krivosti v s_0 leží krivka vnútri oskulačnej kružnice a v prípade lokálneho maxima krivosti v s_0 leží krivka zvonka oskulačnej kružnice.

Dôkaz. Vychádzame z toho, že bod $P(s_0)$ je obyčajným vrcholom krivky, z čoho vyplýva, že pre krivosť v parametri s_0 platí: $k^{(1)}(s_0) = 0$ a $k^{(2)}(s_0) \neq 0$. Z vety o priebehu funkcie vyplýva, že krivosť krivky má v s_0 ostrý lokálny extrém, pričom pre $k^{(2)}(s_0) < 0$ má krivosť v s_0 ostré lokálne maximum a pre $k^{(2)}(s_0) > 0$ má krivosť v s_0 ostré lokálne minimum. Prvá časť vety je tým dokázaná.

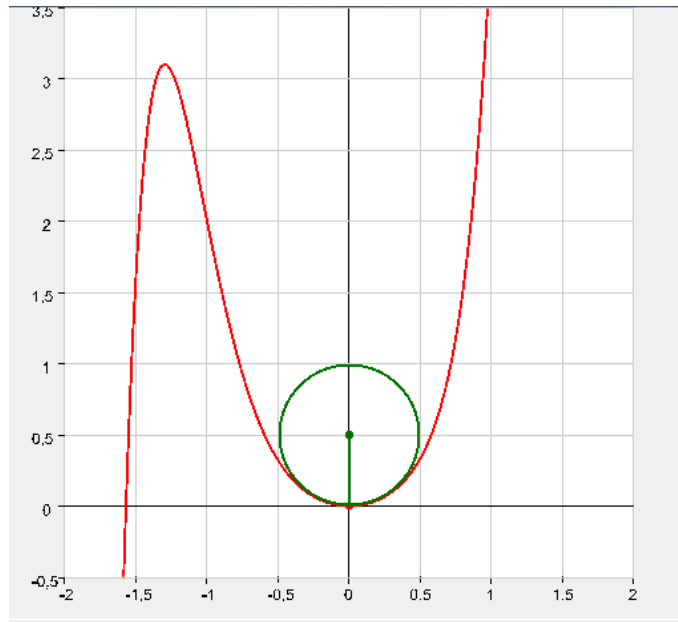
Zoberme si teraz funkciu $f(s) = |P(s)S(s_0)|^2$ a jej derivácie v bode s_0 . Podľa jednej z predchádzajúcich viet platí:

$f^{(1)}(s_0) = 0$, $f^{(2)}(s_0) = 0$, $f^{(3)}(s_0) = -2r(s_0)k^{(1)}(s_0) = 0$, keďže $k^{(1)}(s_0) = 0$ a $f^{(4)}(s_0) = -2r(s_0)k^{(2)}(s_0) \neq 0$, keďže $k^{(2)}(s_0) \neq 0$. Znova použijeme vetu o priebehu funkcie tentoraz na funkciu f . Funkcia $f(s)$ má v čísle s_0 lokálny ex-

trém, pričom pre $f^{(3)}(s_0) < 0$ ide o lokálne maximum a pre $f^{(3)}(s_0) > 0$ o lokálne minimum funkcie f .

Znamienko funkcie $f^{(4)}(s_0) = -2r(s_0)k^{(2)}(s_0)$ závisí len od znamienka druhej derivácie krivosti krivky v s_0 , keďže polomer je kladný pre každé $s \in I$. Navyše jej znamienko je opačné, ako je znamienko $k^{(2)}(s_0)$. Platí teda:

1. Ak $k^{(2)}(s_0) < 0$, tak $f^{(4)}(s_0) > 0$. Potom krivosť krivky má v s_0 ostré lokálne maximum a zároveň funkcia f má v s_0 ostré lokálne minimum. To znamená, že vzdialenosť bodov $P(s)$ od stredu oskulačnej kružnice $S(s_0)$ v bode $P(s_0)$ má ostré lokálne minimum, preto v blízkosti s_0 ležia body $P(s)$ krivky zvonka tejto kružnice. Krivka leží teda lokálne v okolí bodu s_0 zvonka oskulačnej kružnice v bode $P(s_0)$.
2. Ak $k^{(2)}(s_0) > 0$, tak $f^{(4)}(s_0) < 0$. Potom krivosť krivky má v s_0 ostré lokálne minimum a zároveň funkcia f má v s_0 ostré lokálne maximum. To znamená, že vzdialenosť bodov $P(s)$ od stredu oskulačnej kružnice $S(s_0)$ v bode $P(s_0)$ má ostré lokálne maximum, preto v blízkosti s_0 ležia body $P(s)$ krivky vnútri tejto kružnice. Krivka leží teda lokálne v okolí bodu s_0 vnútri oskulačnej kružnice v bode $P(s_0)$. \square



Obr. 2.6: Oskulačná kružnica krivky v obyčajnom vrchole, krivka leží zvonka kružnice

Predchádzajúce vety dávajú základnú predstavu o tom, aká je poloha krivky vzhľadom na oskulačnú kružnicu vo všeobecnom bode krivky a v obyčajnom vrchole krivky. Ešte stále však nevieme, ako sa oskulačná kružnica správa vo vrchole vyššieho rádu. Našou snahou bude v ďalšej kapitole zistiť niečo viac o jej polohe práve vo vrcholoch vyššieho rádu.

2.4 Oskulačná kružnica krivky vo vrchole vyššieho rádu

V predchádzajúcej kapitole sme ukázali, aká je vzájomná poloha oskulačnej kružnice a krivky vo všeobecnom bode krivky a v obyčajnom vrchole krivky. Pripomeňme si, že vo všeobecnom bode krivky $P(s)$ danej prirodzenou parametrizáciou, teda v bode $P(s_0)$, pre ktorý platí $k^{(1)}(s_0) \neq 0$, krivka prechádza z jednej strany oskulačnej kružnice na druhú a v obyčajnom vrchole krivky $P(s)$, teda v bode $P(s_0)$, pre ktorý platí $k^{(1)}(s_0) = 0$ a $k^{(2)}(s_0) \neq 0$, krivka leží lokálne na jednej strane oskulačnej kružnice.

V tejto kapitole je snahou vysloviť tvrdenie, ktoré bude hovoriť o polohe krivky a oskulačnej kružnice v bode krivky, ktorý nie je ani všeobecným bodom, ani obyčajným vrcholom, teda vo vrchole vyššieho rádu.

Vieme, že vrchol $P(s_0)$ krivky $P(s)$ nazývame vrcholom k -teho rádu, ak pre krivost, resp. jej derivácie v parametri s_0 platia vzťahy:

$$k(s_0) \neq 0, k^{(1)}(s_0) = 0, \dots, k^{(k)}(s_0) = 0, k \geq 2$$

Medzi nevrcholom, obyčajným vrcholom krivky a medzi vrcholom vyššieho rádu krivky existuje analógia. Keby sme z definície vrcholu k -teho rádu vynechali podmienku, že $k \geq 2$, všeobecný bod krivky by sme mohli považovať za vrchol 0-tého rádu krivky, kým obyčajný vrchol by bol vrcholom 1-ého rádu krivky.

Na základe tejto predstavy by sme ľahko dospeli k predpokladu, že vo vrchole párneho rádu sa bude krivka a jej oskulačná kružnica správať rovnako, ako v nevr-

chole krivky a vo vrchole nepárneho rádu bude poloha krivky k oskulačnej kružnici rovnaká, ako v obyčajnom vrchole. V tejto kapitole tento predpoklad potvrdíme a dokážeme.

V predchádzajúcej kapitole sme definovali funkciu, ktorá opisovala, ako sa mení vzdialenosť bodov $P(s)$ krivky od stredu oskulačnej kružnice $S(s_0)$ v okolí bodu $P(s_0)$. Jej predpis vyzeral nasledovne:

$$\begin{aligned} f(s) &= |P(s)S(s_0)|^2 \\ &= (P(s) - P(s_0))^2 - 2r(s_0)\mathbf{n}(s_0)(P(s) - P(s_0)) + r^2(s_0) \\ &= \Delta^2 - 2r_0\mathbf{n}_0\Delta + r_0^2, \end{aligned}$$

kde $S(s_0)$ je stred oskulačnej kružnice, $r(s_0) = r_0$ je jej polomer a $\Delta(s) = \Delta = P(s) - P(s_0)$.

Okrem toho sme uviedli vetu, ktorá hovorila o tom, ako vyzerajú prvé derivácie funkcie f a ich hodnoty v s_0 . Teraz nám ale nebudú stačiť len uvedené derivácie, budeme potrebovať aj ďalšie, n -té derivácie tejto funkcie. Preto jedna z viet, ktorú vyslovíme, bude hovoriť o tom, ako vyzerajú derivácie n -tého rádu funkcie f . Ešte predtým však zavedieme nové množiny, ktoré nám neskôr výrazne uľahčia prácu.

Definícia 2.4.1:

Majme danú funkciu $\varphi : \mathbb{R}^{m+1} \rightarrow \mathbb{R}$ hladkú a diferencovateľnú a takú, že spĺňa podmienku: $\varphi(x_0, 0, \dots, 0) = 0$ pre všetky $x_0 \in \mathbb{R}$. Označme A_m množinu všetkých funkcií, ktoré majú tieto vlastnosti, teda:

$$A_m = \{\varphi : \mathbb{R}^{m+1} \rightarrow \mathbb{R}, \varphi \text{ je hladká a differencovateľná a } \varphi(x_0, 0, \dots, 0) = 0 \text{ pre všetky } x_0 \in \mathbb{R}\}$$

Definícia 2.4.2:

Nech je daná funkcia φ majúca vlastnosti uvedené v predchádzajúcej definícii, teda $\varphi \in A_m$, nech $k : I \rightarrow \mathbb{R}$ je krivosť krivky a $k^{(1)}(s), \dots, k^{(m)}(s), s \in I$ sú jej

príslušné derivácie. Potom množinu všetkých zložených funkcií $F(s) = \varphi(k(s), k^{(1)}(s), \dots, k^{(m)}(s))$, $s \in I$ budeme označovať $A_m(k)$ a teda platí:

$$A_m(k) = \{F(s) = \varphi(k(s), k^{(1)}(s), \dots, k^{(m)}(s)), s \in I \wedge \varphi \in A_m\}$$

O funkcií z množiny $A_m(k)$ budeme tiež hovoriť, že je funkciou typu $A_m(k)$.

Poznámka: Dôvod, prečo zavádzame množinu funkcií $A_m(k)$ je ten, že v niektorých nasledujúcich výpočtoch sa stretнемe práve s funkiami z tejto množiny, ktoré obsahujú rôzne kombinácie krivosti krivky a jej derivácií, pričom nie vždy je dôležitý presný tvar týchto funkcií. Stačí vedieť, derivácie ktorého najvyššieho rádu obsahujú.

Veta 2.4.1 (Pravidlá pre počítanie s funkiami typu $A_m(k)$):

Nech m, n sú prirodzené čísla a nech $a(k, \dots, k^{(m)}) \in A_m(k)$, $b(k, \dots, k^{(n)}) \in A_n(k)$, $c \in \mathbb{R}$. Nech k je krivosť krivky a $k^{(i)}$ je i -ta derivácia krivosti. Potom:

1. $ka(k, \dots, k^{(m)}) \in A_m(k)$
2. $k^{(n)}a(k, \dots, k^{(m)}) \in A_l(k)$, kde $l = \max\{m, n\}$
3. $a(k, \dots, k^{(m)}) + a(k, \dots, k^{(n)}) \in A_l(k)$, kde $l = \max\{m, n\}$
4. $ca(k, \dots, k^{(m)}) \in A_m(k)$
5. $(a(k, \dots, k^{(m)}))' \in A_{m+1}(k)$

Dôkaz. Pri dôkaze prvých 4 tvrdení si stačí uvedomiť, akú vlastnosť má funkcia $a(k, \dots, k^{(m)}) \in A_m(k)$ a ako sa táto funkcia zmení pri operáciach naznačených vo vete.

Posledné tvrdenie dokážeme podrobnejšie. Je treba si uvedomiť, že $a(k, \dots, k^{(m)})$ je zložená funkcia $a(k, \dots, k^{(m)})(s) = a(k(s), \dots, k^{(m)}(s))$, kde $a(x_1, \dots, x_m)$ je funkcia z množiny A_m . Derivujeme ju podľa pravidiel o derivácii zloženej funkcie. Platí teda:

$$(a(k, \dots, k^{(m)}))' = \frac{\partial a}{\partial x_0} k^{(1)} + \frac{\partial a}{\partial x_1} k^{(2)} + \dots + \frac{\partial a}{\partial x_m} k^{(m+1)} = \psi(k, k^{(1)}, \dots, k^{(m+1)})$$

Z tvaru výslednej derivácie je jasné, že ak $(a(k, \dots, k^{(m)}))'$ je zložená funkcia s vonkajšou zložkou $\psi(x_0, \dots, x_{m+1}) = \frac{\partial a}{\partial x_0} x_1 + \frac{\partial a}{\partial x_1} x_2 + \dots + \frac{\partial a}{\partial x_m} x_{m+1}$ a s vnútornými

zložkami $x_0 = k, x_1 = k^{(1)}, \dots, x_{m+1} = k^{(m+1)}$. Podmienka $\psi(x_0, 0, \dots, 0) = 0$ pre všetky $x_0 \in \mathbb{R}$ je zrejme splnená, preto $\psi \in A_{m+1}$, čiže $(a(k, \dots, k^{(m)}))' \in A_{m+1}(k)$. Tým je veta dokázaná. \square

Využijúc predchádzajúce poznatky sformulujeme vetu o n -tej derivácii funkcie f :

Veta 2.4.2 (Derivácie n -tého rádu funkcie f):

Nech je daná funkcia $f : I \rightarrow \mathbb{R}$ s predpisom $f(s) = |P(s)S(s_0)|^2$, kde $P(s)$ je bod krivky danej prirodzenou parametrizáciou a $S(s_0)$ je stred oskulačnej kružnice. Nech krivosť krivky v bode $P(s)$ je $k(s)$ a $\Delta(s) = P(s) - S(s_0)$. Potom pre každé $n \geq 5$ existujú také funkcie $a_n(k, \dots, k^{(n-3)}) \in A_{n-3}(k)$, $b_n(k, \dots, k^{(n-4)}) \in A_{n-4}(k)$ a $c_n(k, \dots, k^{(n-4)}) \in A_{n-4}(k)$, že pre n -tú deriváciu funkcie $f(s)$ platí:

1. Ak n je párnec, tak

$$f^{(n)}(s) = 2((\Delta(s) - r(s_0)\mathbf{n}(s_0))(\alpha_n(s)\mathbf{t}(s) + \beta_n(s)\mathbf{n}(s)) + \gamma_n(s)), n \geq 5$$

kde

$$\begin{aligned}\alpha_n(s) &= a_n(k, \dots, k^{(n-3)}), \\ \beta_n(s) &= (-1)^{\frac{n}{2}-1} k^{n-1}(s) + k^{(n-2)}(s) + b_n(k, \dots, k^{(n-4)}), \\ \gamma_n(s) &= (-1)^{\frac{n}{2}-1} k^{n-2}(s) + c_n(k, \dots, k^{(n-4)}), n \geq 5\end{aligned}$$

2. Ak n je nepárne, tak

$$f^{(n)}(s) = 2((\Delta(s) - r(s_0)\mathbf{n}(s_0))(\alpha_n(s)\mathbf{t}(s) + \beta_n(s)\mathbf{n}(s)) + \gamma_n(s)), n \geq 5$$

kde

$$\begin{aligned}\alpha_n(s) &= (-1)^{\frac{n-1}{2}} k^{n-1}(s) + a_n(k, \dots, k^{(n-3)}) \\ \beta_n(s) &= k^{(n-2)}(s) + b_n(k, \dots, k^{(n-4)}) \\ \gamma_n(s) &= c_n(k, \dots, k^{(n-4)}), n \geq 5\end{aligned}$$

Dôkaz. Vetu budeme dokazovať matematickou indukciou.

1. Vieme, že pre $n = 4$ je derivácia f vyjadrená takto:

$$\begin{aligned}f^{(4)} &= 2((\Delta - r_0\mathbf{n}_0)(-3kk^{(1)}\mathbf{t} + (-k^3 + k^{(2)})\mathbf{n}) - k^2) \\ &= 2((\Delta - r_0\mathbf{n}_0)(\alpha_4\mathbf{t} + \beta_4\mathbf{n}) + \gamma_4),\end{aligned}$$

kde $\alpha_4 = -3kk^{(1)}$, $\beta_4 = -k^3 + k^{(2)}$ a $\gamma_4 = -k^2$.

Derivujme tento vzťah:

$$\begin{aligned} f^{(5)} &= \left(2 \left((\Delta - r_0 \mathbf{n}_0) (-3kk^{(1)}\mathbf{t} + (-k^3 + k^{(2)})\mathbf{n}) - k^2 \right) \right)' \\ &= \left(2 \left((\Delta - r_0 \mathbf{n}_0) (\alpha_4 \mathbf{t} + \beta_4 \mathbf{n}) + \gamma_4 \right) \right)' \\ &= 2 \left((\Delta - r_0 \mathbf{n}_0)' (\alpha_4 \mathbf{t} + \beta_4 \mathbf{n}) + (\Delta - r_0 \mathbf{n}_0) (\alpha_4 \mathbf{t} + \beta_4 \mathbf{n})' + \gamma_4' \right) \end{aligned}$$

Počítajme $(\Delta - r_0 \mathbf{n}_0)' (\alpha_4 \mathbf{t} + \beta_4 \mathbf{n})$, pričom vieme, že $(\Delta - r_0 \mathbf{n}_0)' = \mathbf{t}$:

$$(\Delta - r_0 \mathbf{n}_0)' (\alpha_4 \mathbf{t} + \beta_4 \mathbf{n}) = \mathbf{t} (\alpha_4 \mathbf{t} + \beta_4 \mathbf{n}) = \alpha_4 = -3kk^{(1)}$$

Počítajme teraz $(\Delta - r_0 \mathbf{n}_0) (\alpha_4 \mathbf{t} + \beta_4 \mathbf{n})'$:

$$(\Delta - r_0 \mathbf{n}_0) (\alpha_4 \mathbf{t} + \beta_4 \mathbf{n})' = (\Delta - r_0 \mathbf{n}_0) (\alpha'_4 \mathbf{t} + \alpha_4 \mathbf{t}' + \beta'_4 \mathbf{n} + \beta_4 \mathbf{n}')$$

Pre deriváciu α_4 a β_4 platí:

$$\begin{aligned} \alpha'_4 &= (-3kk^{(1)})' = -3(k^{(1)})^2 - 3kk^{(2)} \\ \beta'_4 &= (-k^3 + k^{(2)})' = -3k^2k^{(1)} + k^{(3)} \end{aligned}$$

Po prenásobení α'_4 vektorom \mathbf{t} a β'_4 vektorom \mathbf{n} dostávame:

$$\begin{aligned} \alpha'_4 \mathbf{t} &= \left(-3(k^{(1)})^2 - 3kk^{(2)} \right) \mathbf{t} \\ \beta'_4 \mathbf{n} &= \left(-3k^2k^{(1)} + k^{(3)} \right) \mathbf{n} \end{aligned}$$

Použijúc Frenetove vzorce dostávame vzťahy na výpočet $\alpha_4 \mathbf{t}'$ a $\beta_4 \mathbf{n}'$:

$$\begin{aligned} \alpha_4 \mathbf{t}' &= (-3kk^{(1)}) \mathbf{t}' = (-3kk^{(1)}) k \mathbf{n} = -3k^2k^{(1)} \mathbf{n} \\ \beta_4 \mathbf{n}' &= (-k^3 + k^{(2)}) \mathbf{n}' = (-k^3 + k^{(2)}) (-k \mathbf{t}) = (k^4 - kk^{(2)}) \mathbf{t} \end{aligned}$$

Po sčítaní týchto vzťahov dostávame:

$$\begin{aligned} (\alpha_4 \mathbf{t} + \beta_4 \mathbf{n})' &= (\alpha'_4 \mathbf{t} + \alpha_4 \mathbf{t}' + \beta'_4 \mathbf{n} + \beta_4 \mathbf{n}') \\ &= \left(\mathbf{t} (k^4 - 4kk^{(2)} - 3(k^{(1)})^2) + \mathbf{n} (-6k^2k^{(1)} + k^{(3)}) \right) \end{aligned}$$

Nech $a_5(k, k^{(1)}, k^{(2)}) = -4kk^{(2)} - 3(k^{(1)})^2$ a $b_5(k, k^{(1)}) = -6k^2k^{(1)}$, potom platí:

$$(\alpha_4 \mathbf{t} + \beta_4 \mathbf{n})' = \mathbf{t} (k^4 + a_5(k, k^{(1)}, k^{(2)})) + \mathbf{n} (k^{(3)} + b_5(k, k^{(1)}))$$

Dosadením týchto výpočtov do $f^{(5)}$ dostávame:

$$f^{(5)} = 2 (-3kk^{(1)} + (\Delta - r_0 \mathbf{n}_0) (\alpha_5 \mathbf{t} + \beta_5 \mathbf{n}) - 2kk^{(1)}),$$

kde $\alpha_5 = k^4 + a_5(k, k^{(1)}, k^{(2)})$ a $\beta_5 = k^{(3)} + b_5(k, k^{(1)})$

Ak $c_5(k, k^{(1)}) = -5kk^{(1)}$, potom vzťah pre piatu deriváciu funkcie f má tvar:

$$\begin{aligned} f^{(5)} &= 2 ((\Delta - r_0 \mathbf{n}_0) (\alpha_5 \mathbf{t} + \beta_5 \mathbf{n}) + c_5(k, k^{(1)})) \\ &= 2 ((\Delta - r_0 \mathbf{n}_0) (\alpha_5 \mathbf{t} + \beta_5 \mathbf{n}) + \gamma_5), \end{aligned}$$

kde $\alpha_5 = k^4 + a_5(k, k^{(1)}, k^{(2)})$, $\beta_5 = k^{(3)} + b_5(k, k^{(1)})$ a $\gamma_5 = c_5(k, k^{(1)})$. Tým je vzťah pre $n=5$ dokázaný.

Derivovaním $f^{(5)}$ ukážeme, že vzťah z vety platí aj pre $f^{(6)}$:

$$f^{(6)} = (2 ((\Delta - r_0 \mathbf{n}_0) (\alpha_5 \mathbf{t} + \beta_5 \mathbf{n}) + \gamma_5))',$$

kde $\alpha_5 = k^4 + a_5(k, k^{(1)}, k^{(2)})$, $\beta_5 = k^{(3)} + b_5(k, k^{(1)})$ a $\gamma_5 = c_5(k, k^{(1)})$.

Derivujme tento vzťah:

$$f^{(6)} = 2 ((\Delta - r_0 \mathbf{n}_0)' (\alpha_5 \mathbf{t} + \beta_5 \mathbf{n}) + (\Delta - r_0 \mathbf{n}_0) (\alpha_5 \mathbf{t} + \beta_5 \mathbf{n})' + \gamma_5'),$$

Počítajme $(\Delta - r_0 \mathbf{n}_0)' (\alpha_5 \mathbf{t} + \beta_5 \mathbf{n})$, pričom vieme, že $(\Delta - r_0 \mathbf{n}_0)' = \mathbf{t}$:

$$(\Delta - r_0 \mathbf{n}_0)' (\alpha_5 \mathbf{t} + \beta_5 \mathbf{n}) = \mathbf{t} (\alpha_5 \mathbf{t} + \beta_5 \mathbf{n}) = \alpha_5 = k^4 + a_5(k, k^{(1)}, k^{(2)})$$

Počítajme teraz $(\Delta - r_0 \mathbf{n}_0) (\alpha_5 \mathbf{t} + \beta_5 \mathbf{n})'$:

$$(\Delta - r_0 \mathbf{n}_0) (\alpha_5 \mathbf{t} + \beta_5 \mathbf{n})' = (\Delta - r_0 \mathbf{n}_0) (\alpha_5' \mathbf{t} + \alpha_5 \mathbf{t}' + \beta_5' \mathbf{n} + \beta_5 \mathbf{n}')$$

Pre deriváciu α_5 a β_5 platí:

$$\alpha_5' = (k^4 + a_5(k, k^{(1)}, k^{(2)}))' = 4k^3 k^{(1)} + a_5^*(k, \dots, k^{(3)})$$

Ked'že $4k^3k^{(1)} \in A_3(k)$ a aj $a_5^*(k, \dots, k^{(3)}) \in A_3(k)$, tak ich súčtom dostávame opäť opäť funkciu z $A_3(k)$ a teda podľa vety hovoriacej o pravidlách počítania s funkciami tohto typu máme, že $4k^3k^{(1)} + a_5^*(k, \dots, k^{(3)}) = a_5^*(k, \dots, k^{(3)})$ a platí teda:

$$\alpha'_5 = a_5^*(k, \dots, k^{(3)})$$

$$\beta'_5 = (k^{(3)} + b_5(k, k^{(1)}))' = k^{(4)} + b_5^*(k, \dots, k^{(2)})$$

Po prenásobení α'_5 vektorom \mathbf{t} a β'_5 vektorom \mathbf{n} dostávame:

$$\begin{aligned}\alpha'_5 \mathbf{t} &= a_5^*(k, \dots, k^{(3)}) \mathbf{t} \\ \beta'_5 \mathbf{n} &= (k^{(4)} + b_5^*(k, \dots, k^{(2)})) \mathbf{n}\end{aligned}$$

Použijúc Frenetove vzorce dostávame vzťahy na výpočet $\alpha_5 \mathbf{t}'$ a $\beta_5 \mathbf{n}'$:

$$\begin{aligned}\alpha_5 \mathbf{t}' &= (k^4 + a_5(k, k^{(1)}, k^{(2)})) \mathbf{t}' = (k^4 + a_5(k, k^{(1)}, k^{(2)})) k \mathbf{n} \\ &= (k^5 + k a_5(k, k^{(1)}, k^{(2)})) \mathbf{n} = (k^5 + a_5(k, k^{(1)}, k^{(2)})) \mathbf{n}\end{aligned}$$

$$\begin{aligned}\beta_5 \mathbf{n}' &= (k^{(3)} + b_5(k, k^{(1)})) \mathbf{n}' = (k^{(3)} + b_5(k, k^{(1)})) (-k \mathbf{t}) \\ &= (-k k^{(3)} - k b_5(k, k^{(1)})) \mathbf{t} = (-k k^{(3)} + b_5(k, k^{(1)})) \mathbf{t}\end{aligned}$$

Po sčítaní týchto vzťahov dostávame:

$$(\alpha_5 \mathbf{t} + \beta_5 \mathbf{n})' = (\alpha'_5 \mathbf{t} + \alpha_5 \mathbf{t}' + \beta'_5 \mathbf{n} + \beta_5 \mathbf{n}') = (\alpha_6 \mathbf{t} + \beta_6 \mathbf{n}),$$

kde

$$\begin{aligned}\alpha_6 &= -k k^{(3)} + b_5(k, k^{(1)}) + a_5^*(k, \dots, k^{(3)}) \\ \beta_6 &= k^5 + a_5(k, k^{(1)}, k^{(2)}) + k^{(4)} + b_5^*(k, \dots, k^{(2)})\end{aligned}$$

Ked'že $-k k^{(3)} \in A_3(k)$ a $a_5^*(k, \dots, k^{(3)}) \in A_3(k)$ tak ich súčtom dostávame opäť $a_5^*(k, \dots, k^{(3)})$ a sčítaním tejto funkcie s $b_5(k, k^{(1)})$ dostávame podľa pravidiel o počítaní s týmito funkciami funkciu $a_6(k, \dots, k^{(3)})$, čiže $\alpha_6 = a_6(k, \dots, k^{(3)})$.

Rovnako súčtom $a_5(k, k^{(1)}, k^{(2)})$ a $b_5^*(k, \dots, k^{(2)})$ dostávame funkciu

$b_6(k, \dots, k^{(2)})$, čiže $\beta_6 = b_6(k, \dots, k^{(2)})$.

Platí teda:

$$\begin{aligned} (\alpha_5 \mathbf{t} + \beta_5 \mathbf{n})' &= (\alpha_6 \mathbf{t} + \beta_6 \mathbf{n}) \\ &= (\mathbf{t} (a_6(k, \dots, k^{(3)})) + \mathbf{n} (k^5 + k^{(4)} + b_6(k, \dots, k^{(2)}))) \end{aligned}$$

Pre deriváciu γ_5 platí: $(\gamma_5)' = (c_5(k, k^{(1)}))' = c_5^*(k, \dots, k^{(2)})$

Dosadením týchto výpočtov do $f^{(6)}$ dostávame:

$$f^{(6)} = 2(k^4 + a_5(k, \dots, k^{(2)}) + (\Delta - r_0 \mathbf{n}_0)(\alpha_6 \mathbf{t} + \beta_6 \mathbf{n}) + c_5^*(k, \dots, k^{(2)})),$$

kde $\alpha_6 = a_6(k, \dots, k^{(3)})$ a $\beta_6 = k^5 + k^{(4)} + b_6(k, \dots, k^{(2)})$

Sčítaním $a_5(k, \dots, k^{(2)})$ a $c_5^*(k, \dots, k^{(2)})$ dostávame funkciu $c_6(k, \dots, k^{(2)})$ a teda vztah pre šiestu deriváciu funkcie f má tvar:

$$\begin{aligned} f^{(6)} &= 2((\Delta - r_0 \mathbf{n}_0)(\alpha_6 \mathbf{t} + \beta_6 \mathbf{n}) + k^4 + c_6(k, \dots, k^{(2)})) \\ &= 2((\Delta - r_0 \mathbf{n}_0)(\alpha_6 \mathbf{t} + \beta_6 \mathbf{n}) + \gamma_6), \end{aligned}$$

kde $\alpha_6 = a_6(k, \dots, k^{(3)})$, $\beta_6 = k^5 + k^{(4)} + b_6(k, \dots, k^{(2)})$ a $\gamma_6 = k^4 + c_6(k, \dots, k^{(2)})$.

Tým je vztah pre $n = 6$ dokázaný. Prvý krok indukcie platí.

2. Nech teraz platí vztah pre výpočet derivácie n -tého stupňa, ak je n je nepárne.

Derivujme tento vzťah:

$$f^{(n+1)} = (2((\Delta - r_0 \mathbf{n}_0)(\alpha_n \mathbf{t} + \beta_n \mathbf{n}) + \gamma_n))',$$

kde

$$\begin{aligned} \alpha_n &= (-1)^{\frac{n-1}{2}} k^{n-1} + a_n(k, \dots, k^{(n-3)}), \\ \beta_n &= k^{(n-2)} + b_n(k, \dots, k^{(n-4)}), \\ \gamma_n &= c_n(k, \dots, k^{(n-4)}) \end{aligned}$$

Potom

$$f^{(n+1)} = 2((\Delta - r_0 \mathbf{n}_0)'(\alpha_n \mathbf{t} + \beta_n \mathbf{n}) + (\Delta - r_0 \mathbf{n}_0)(\alpha_n \mathbf{t} + \beta_n \mathbf{n})' + \gamma_n')$$

Ked'že $(\Delta - r_0 \mathbf{n}_0)' = \mathbf{t}$, tak platí:

$$\begin{aligned} (\Delta - r_0 \mathbf{n}_0)' (\alpha_n \mathbf{t} + \beta_n \mathbf{n}) &= \mathbf{t} (\alpha_n \mathbf{t} + \beta_n \mathbf{n}) = \alpha_n \\ &= (-1)^{\frac{n-1}{2}} k^{n-1} + a_n (k, \dots, k^{(n-3)}) \end{aligned}$$

Počítajme $(\alpha_n \mathbf{t} + \beta_n \mathbf{n})'$:

$$(\alpha_n \mathbf{t} + \beta_n \mathbf{n})' = (\alpha'_n \mathbf{t} + \alpha_n \mathbf{t}' + \beta'_n \mathbf{n} + \beta_n \mathbf{n}')$$

Pre deriváciu α_n a β_n platí:

$$\begin{aligned} \alpha'_n &= \left((-1)^{\frac{n-1}{2}} k^{n-1} + a_n (k, \dots, k^{(n-3)}) \right)' \\ &= (-1)^{\frac{n-1}{2}} (n-1) k^{n-2} k^{(1)} + a_n^* (k, \dots, k^{(n-2)}) \end{aligned}$$

Ked'že $(-1)^{\frac{n-1}{2}} (n-1) k^{n-2} k^{(1)}$ aj $a_n^* (k, \dots, k^{(n-2)})$ sú z množiny $A_{n-2}(k)$ a vieme ich sčítať, tak dostávame:

$$\begin{aligned} \alpha'_n &= a_n^* (k, \dots, k^{(n-2)}) \\ \beta'_n &= (k^{(n-2)} + b_n (k, \dots, k^{(n-4)}))' = k^{(n-1)} + b_n^* (k, \dots, k^{(n-3)}) \end{aligned}$$

Ak prenásobíme α'_n vektorom \mathbf{t} a β'_n vektorom \mathbf{n} , dostávame vzťahy:

$$\begin{aligned} \alpha'_n \mathbf{t} &= a_n^* (k, \dots, k^{(n-2)}) \mathbf{t} \\ \beta'_n \mathbf{n} &= (k^{(n-1)} + b_n^* (k, \dots, k^{(n-3)})) \mathbf{n} \end{aligned}$$

Po použití Frenetových vzorcov a vety 2.4.1. dostávame vzťahy pre výpočet $\alpha_n \mathbf{t}'$ a $\beta_n \mathbf{n}'$:

$$\begin{aligned} \alpha_n \mathbf{t}' &= \left((-1)^{\frac{n-1}{2}} k^{n-1} + a_n (k, \dots, k^{(n-3)}) \right) \mathbf{t}' \\ &= \left((-1)^{\frac{n-1}{2}} k^{n-1} + a_n (k, \dots, k^{(n-3)}) \right) k \mathbf{n} \\ &= \left((-1)^{\frac{n-1}{2}} k^n + k a_n (k, \dots, k^{(n-3)}) \right) \mathbf{n} \\ &= \left((-1)^{\frac{n-1}{2}} k^n + a_n (k, \dots, k^{(n-3)}) \right) \mathbf{n} \end{aligned}$$

$$\begin{aligned}
 \beta_n \mathbf{n}' &= (k^{(n-2)} + b_n(k, \dots, k^{(n-4)})) \mathbf{n}' \\
 &= (k^{(n-2)} + b_n(k, \dots, k^{(n-4)})) (-k\mathbf{t}) \\
 &= (-kk^{(n-2)} - kb_n(k, \dots, k^{(n-4)})) \mathbf{t} \\
 &= (-kk^{(n-2)} + b_n(k, \dots, k^{(n-4)})) \mathbf{t}
 \end{aligned}$$

Sčítaním týchto vzťahov dostávame:

$$(\alpha_n \mathbf{t} + \beta_n \mathbf{n})' = (\alpha'_n \mathbf{t} + \alpha_n \mathbf{t}' + \beta'_n \mathbf{n} + \beta_n \mathbf{n}') = \alpha_{n+1} \mathbf{t} + \beta_{n+1} \mathbf{n},$$

kde

$$\begin{aligned}
 \alpha_{n+1} &= a_n^*(k, \dots, k^{(n-2)}) - kk^{(n-2)} + b_n(k, \dots, k^{(n-4)}), \\
 \beta_{n+1} &= k^{(n-1)} + b_n^*(k, \dots, k^{(n-3)}) + (-1)^{\frac{n-1}{2}} k^n + a_n(k, \dots, k^{(n-3)})
 \end{aligned}$$

Ked'že $-kk^{(n-2)}$ a $a_n^*(k, \dots, k^{(n-2)})$ sú funkcie z množiny $A_{n-2}(k)$, tak ich súčtom dostávame opäť $a_n^*(k, \dots, k^{(n-2)})$ a súčtom tejto funkcie s $b_n(k, \dots, k^{(n-4)})$ je podľa vety 2.4.1. funkcia $a_{n+1}(k, \dots, k^{(n-2)})$, preto $\alpha_{n+1} = a_{n+1}(k, \dots, k^{(n-2)})$.

Rovnako súčtom $b_n^*(k, \dots, k^{(n-3)})$ a $a_n(k, \dots, k^{(n-3)})$ je funkcia $b_{n+1}(k, \dots, k^{(n-3)})$, preto $\beta_{n+1} = k^{(n-1)} + (-1)^{\frac{n-1}{2}} k^n + b_{n+1}(k, \dots, k^{(n-3)})$.

Derivovaním $\gamma_n = c_n(k, \dots, k^{(n-4)})$ dostávame $\gamma'_n = c_n^*(k, \dots, k^{(n-3)})$.

Dosadením týchto výpočtov do vyjadrenia $f^{(n+1)}$ dostávame:

$$f^{(n+1)} = 2((\Delta - r_0 \mathbf{n}_0)(\alpha_{n+1} \mathbf{t} + \beta_{n+1} \mathbf{n}) + \gamma_{n+1}),$$

kde

$$\begin{aligned}
 \alpha_{n+1} &= a_{n+1}(k, \dots, k^{(n-2)}) \\
 \beta_{n+1} &= k^{(n-1)} + (-1)^{\frac{n-1}{2}} k^n + b_{n+1}(k, \dots, k^{(n-3)}) \\
 \gamma_{n+1} &= (-1)^{\frac{n-1}{2}} k^{n-1} + a_n(k, \dots, k^{(n-3)}) + c_n^*(k, \dots, k^{(n-3)})
 \end{aligned}$$

Súčtom $a_n(k, \dots, k^{(n-3)})$ a $c_n^*(k, \dots, k^{(n-3)})$ je $c_{n+1}(k, \dots, k^{(n-3)})$ a teda platí:

$$f^{(n+1)} = 2((\Delta - r_0 \mathbf{n}_0)(\alpha_{n+1} \mathbf{t} + \beta_{n+1} \mathbf{n}) + \gamma_{n+1}),$$

kde

$$\begin{aligned}\alpha_{n+1} &= a_{n+1}(k, \dots, k^{(n-2)}) \\ \beta_{n+1} &= k^{(n-1)} + (-1)^{\frac{n-1}{2}} k^n + b_{n+1}(k, \dots, k^{(n-3)}) \\ \gamma_{n+1} &= (-1)^{\frac{n-1}{2}} k^{n-1} + c_{n+1}(k, \dots, k^{(n-3)})\end{aligned}$$

Posunutím indexu $n+1$ na n v ráde derivácie dostaneme:

$$f^{(n)} = 2((\Delta - r_0 \mathbf{n}_0)(\alpha_n \mathbf{t} + \beta_n \mathbf{n}) + \gamma_n),$$

kde

$$\begin{aligned}\alpha_n &= a_n(k, \dots, k^{(n-3)}) \\ \beta_n &= k^{(n-2)} + (-1)^{\frac{n}{2}-1} k^{n-1} + b_n(k, \dots, k^{(n-4)}) \\ \gamma_n &= (-1)^{\frac{n}{2}-1} k^{n-2} + c_n(k, \dots, k^{(n-4)}), n \text{ je párne}\end{aligned}$$

Ukázali sme teda, že deriváciou vyjadrenia nepárneho rádu derivácie naozaj dosťaneme vyjadrenie párneho rádu derivácie.

3. Nech teraz platí vzťah pre výpočet derivácie n -tého stupňa, ak je n je párne.

Derivujme tento vzťah:

$$f^{(n+1)} = (2((\Delta - r_0 \mathbf{n}_0)(\alpha_n \mathbf{t} + \beta_n \mathbf{n}) + \gamma_n))',$$

kde $\alpha_n = a_n(k, \dots, k^{(n-3)})$, $\beta_n = k^{(n-2)} + (-1)^{\frac{n}{2}-1} k^{n-1} + b_n(k, \dots, k^{(n-4)})$
a $\gamma_n = (-1)^{\frac{n}{2}-1} k^{n-2} + c_n(k, \dots, k^{(n-4)})$.

Potom

$$f^{(n+1)} = 2((\Delta - r_0 \mathbf{n}_0)'(\alpha_n \mathbf{t} + \beta_n \mathbf{n}) + (\Delta - r_0 \mathbf{n}_0)(\alpha_n \mathbf{t} + \beta_n \mathbf{n})' + \gamma_n')$$

Ked'že $(\Delta - r_0 \mathbf{n}_0)' = \mathbf{t}$, tak platí:

$$(\Delta - r_0 \mathbf{n}_0)'(\alpha_n \mathbf{t} + \beta_n \mathbf{n}) = \mathbf{t}(\alpha_n \mathbf{t} + \beta_n \mathbf{n}) = \alpha_n = a_n(k, \dots, k^{(n-3)})$$

Počítajme $(\alpha_n \mathbf{t} + \beta_n \mathbf{n})'$:

$$(\alpha_n \mathbf{t} + \beta_n \mathbf{n})' = (\alpha'_n \mathbf{t} + \alpha_n \mathbf{t}' + \beta'_n \mathbf{n} + \beta_n \mathbf{n}')$$

Pre deriváciu α_n a β_n platí:

$$\alpha'_n = (a_n(k, \dots, k^{(n-3)}))' = a_n^*(k, \dots, k^{(n-2)})$$

$$\begin{aligned}\beta'_n &= \left(k^{(n-2)} + (-1)^{\frac{n}{2}-1} k^{n-1} + b_n(k, \dots, k^{(n-4)}) \right)' \\ &= k^{(n-1)} + (-1)^{\frac{n}{2}-1} (n-1) k^{n-2} k^{(1)} + b_n^*(k, \dots, k^{(n-3)})\end{aligned}$$

Podľa vety 2.4.1 je súčtom funkcií $(-1)^{\frac{n}{2}-1} (n-1) k^{n-2} k^{(1)}$ a $b_n^*(k, \dots, k^{(n-3)})$ opäť funkcia $b_n^*(k, \dots, k^{(n-3)})$, preto platí:

$$\beta'_n = k^{(n-1)} + b_n^*(k, \dots, k^{(n-3)})$$

Ak prenásobíme α'_n vektorom \mathbf{t} a β'_n vektorom \mathbf{n} , dostávame vzťahy:

$$\begin{aligned}\alpha'_n \mathbf{t} &= a_n^*(k, \dots, k^{(n-2)}) \mathbf{t} \\ \beta'_n \mathbf{n} &= (k^{(n-1)} + b_n^*(k, \dots, k^{(n-3)})) \mathbf{n}\end{aligned}$$

Po použití Frenetových vzorcov dostávame vzťahy pre výpočet $\alpha_n \mathbf{t}'$ a $\beta_n \mathbf{n}'$:

$$\begin{aligned}\alpha_n \mathbf{t}' &= (a_n(k, \dots, k^{(n-3)})) \mathbf{t}' \\ &= (a_n(k, \dots, k^{(n-3)})) k \mathbf{n} \\ &= (k a_n(k, \dots, k^{(n-3)})) \mathbf{n} \\ &= (a_n(k, \dots, k^{(n-3)})) \mathbf{n}\end{aligned}$$

$$\begin{aligned}\beta_n \mathbf{n}' &= \left(k^{(n-2)} + (-1)^{\frac{n}{2}-1} k^{n-1} + b_n(k, \dots, k^{(n-4)}) \right) \mathbf{n}' \\ &= \left(k^{(n-2)} + (-1)^{\frac{n}{2}-1} k^{n-1} + b_n(k, \dots, k^{(n-4)}) \right) (-k \mathbf{t}) \\ &= \left(-k k^{(n-2)} + (-1)^{\frac{n}{2}} k^n - k b_n(k, \dots, k^{(n-4)}) \right) \mathbf{t} \\ &= \left(-k k^{(n-2)} + (-1)^{\frac{n}{2}} k^n + b_n(k, \dots, k^{(n-4)}) \right) \mathbf{t}\end{aligned}$$

Sčítaním týchto vzťahov dostávame:

$$(\alpha_n \mathbf{t} + \beta_n \mathbf{n})' = (\alpha'_n \mathbf{t} + \alpha_n \mathbf{t}' + \beta'_n \mathbf{n} + \beta_n \mathbf{n}') = \alpha_{n+1} \mathbf{t} + \beta_{n+1} \mathbf{n},$$

kde

$$\begin{aligned}\alpha_{n+1} &= a_n^*(k, \dots, k^{(n-2)}) - kk^{(n-2)} + (-1)^{\frac{n}{2}} k^n + b_n(k, \dots, k^{(n-4)}), \\ \beta_{n+1} &= k^{(n-1)} + b_n^*(k, \dots, k^{(n-3)}) + a_n(k, \dots, k^{(n-3)}) \\ \gamma_{n+1} &= (\gamma_n)' = \left((-1)^{\frac{n}{2}-1} k^{n-2} + c_n(k, \dots, k^{(n-4)}) \right)'\end{aligned}$$

Derivovaním $\gamma_n = (-1)^{\frac{n}{2}-1} k^{n-2} + c_n(k, \dots, k^{(n-4)})$ dostávame:

$$\gamma'_n = (-1)^{\frac{n}{2}-1} (n-2) k^{n-3} k^{(1)} + c_n^*(k, \dots, k^{(n-3)})$$

a keďže $(-1)^{\frac{n}{2}-1} (n-2) k^{n-3} k^{(1)}$ a.j. $c_n^*(k, \dots, k^{(n-3)})$ sú z $A_{n-3}(k)$, tak
 $\gamma'_n = c_n^*(k, \dots, k^{(n-3)})$.

Dosadením týchto výpočtov do vyjadrenia $f^{(n+1)}$ dostávame:

$$f^{(n+1)} = 2((\Delta - r_0 \mathbf{n}_0)(\alpha_{n+1} \mathbf{t} + \beta_{n+1} \mathbf{n}) + \gamma_{n+1}),$$

kde

$$\begin{aligned}\alpha_{n+1} &= a_n^*(k, \dots, k^{(n-2)}) - kk^{(n-2)} + (-1)^{\frac{n}{2}} k^n + b_n(k, \dots, k^{(n-4)}) \\ \beta_{n+1} &= k^{(n-1)} + b_n^*(k, \dots, k^{(n-3)}) + a_n(k, \dots, k^{(n-3)}) \\ \gamma_{n+1} &= c_n^*(k, \dots, k^{(n-3)}) + a_n(k, \dots, k^{(n-3)})\end{aligned}$$

Ked'že $-kk^{(n-2)}$ a $a_n^*(k, \dots, k^{(n-2)})$ patria množine $A_{n-2}(k)$, tak ich súčtom podľa vety 2.4.1 dostávame opäť funkciu $a_n^*(k, \dots, k^{(n-2)})$, po jej sčítaní s $b_n(k, \dots, k^{(n-4)})$ dostaneme podľa rovnakej vety opäť funkciu $a_n^*(k, \dots, k^{(n-2)})$ a teda $\alpha_{n+1} = (-1)^{\frac{n}{2}} k^n + a_n^*(k, \dots, k^{(n-2)})$.

Rovnako sčítaním $b_n^*(k, \dots, k^{(n-3)})$ a $a_n(k, \dots, k^{(n-3)})$ dostávame $b_n^*(k, \dots, k^{(n-3)})$ a teda $\beta_{n+1} = k^{(n-1)} + b_n^*(k, \dots, k^{(n-3)})$.

Súčtom $a_n(k, \dots, k^{(n-3)})$ a $c_n^*(k, \dots, k^{(n-3)})$ je $c_{n+1}(k, \dots, k^{(n-3)})$ a teda $\gamma_{n+1} = c_{n+1}(k, \dots, k^{(n-3)})$.

Pre $f^{(n+1)}$ teda platí:

$$f^{(n+1)} = 2((\Delta - r_0 \mathbf{n}_0)(\alpha_{n+1} \mathbf{t} + \beta_{n+1} \mathbf{n}) + \gamma_{n+1}),$$

kde

$$\begin{aligned}\alpha_{n+1} &= (-1)^{\frac{n}{2}} k^n + a_n^*(k, \dots, k^{(n-2)}), \\ \beta_{n+1} &= k^{(n-1)} + b_n^*(k, \dots, k^{(n-3)}), \\ \gamma_{n+1} &= c_{n+1}(k, \dots, k^{(n-3)}).\end{aligned}$$

Posunutím indexu $n+1$ na n v ráde derivácie dostaneme:

$$f^{(n)} = 2((\Delta - r_0 \mathbf{n}_0)(\alpha_n \mathbf{t} + \beta_n \mathbf{n}) + \gamma_n),$$

kde

$$\begin{aligned}\alpha_n &= (-1)^{\frac{n-1}{2}} k^{n-1} + a_n(k, \dots, k^{(n-3)}), \\ \beta_n &= k^{(n-2)} + b_n(k, \dots, k^{(n-4)}), \\ \gamma_n &= c_n(k, \dots, k^{(n-4)}), n \text{ je nepárne}.\end{aligned}$$

Ukázali sme teda, že deriváciou vyjadrenia párneho rádu derivácie naozaj dostaneme vyjadrenie nepárneho rádu derivácie. Tým je veta dokázaná.

□

Poznámka: Ako uvidíme neskôr, funkcie a_n , b_n , c_n výrazne zjednodusia prácu s deriváciami funkcie f v parametri s_0 .

Na základe uvedených definícií a viet teraz vyslovíme vetu, ktorá hovorí o vzájomnej polohe oskulačnej kružnice a krivky vo vrchole vyššieho rádu:

Veta 2.4.3 (Oskulačná kružnica krivky vo vrchole vyššieho rádu):

Nech je daná krivka vyjadrená prirodzenou parametrizáciou $P(s)$, $s \in I$ a nech $P(s_0)$ je vrcholom k -teho rádu tejto krivky. Potom:

1. ak k je nepárne, krivosť krivky má v tomto bode ostrý lokálny extrém a rovinná krivka ostáva v blízkosti vrchola na jednej strane oskulačnej kružnice. V prípade lokálneho minima krivosti krivka leží lokálne vnútri oskulačnej kružnice, pri lokálnom maxime krivosti zvonka oskulačnej kružnice.
2. ak k je párne, krivosť krivky je ostro monotónna a krivka prechádza z jednej strany oskulačnej kružnice na druhú. Dovnútra oskulačnej kružnice uchádza v smere rastúcej krivosti.

Dôkaz. Nech bod $P(s_0)$ danej krivky je bod k -teho rádu. Pre krivosť krivky v tomto bode platí: $k(s_0) \neq 0, k^{(1)}(s_0) = 0, \dots, k^{(k)}(s_0) = 0$ a $k^{(k+1)}(s_0) \neq 0$.

Ak k je nepárne, tak $k + 1$ je párne. Podľa vety o priebehu funkcie uvedenej v predchádzajúcej kapitole platí, že krivosť má v s_0 ostrý lokálny extrém.

Ak k je párne, tak $k + 1$ je nepárne. Podľa vety o priebehu funkcie uvedenej v predchádzajúcej kapitole platí, že krivosť je v s_0 ostro monotónna.

Tým je prvá časť vety dokázaná.

Ukážeme, že rovnosti $k^{(1)}(s_0) = 0, \dots, k^{(k)}(s_0) = 0$ a nerovnosť $k^{(k+1)}(s_0) \neq 0$ dávajú pre funkciu $f(s) = |P(s)S(s_0)|^2$ a jej derivácie v s_0 nasledovné vzťahy:

$$f^{(1)}(s_0) = \dots = f^{(k+2)}(s_0) = 0 \text{ a } f^{(k+3)}(s_0) \neq 0$$

Pre n -tú deriváciu funkcie f v prípade, že n je nepárne platí:

$$f^{(n)} = 2((\Delta - r_0 \mathbf{n}_0)(\alpha_n \mathbf{t} + \beta_n \mathbf{n}) + \gamma_n),$$

kde

$$\begin{aligned}\alpha_n &= (-1)^{\frac{n-1}{2}} k^{n-1} + a_n(k, \dots, k^{(n-3)}), \\ \beta_n &= k^{(n-2)} + b_n(k, \dots, k^{(n-4)}), \\ \gamma_n &= c_n(k, \dots, k^{(n-4)})\end{aligned}$$

Dosadením čísla s_0 do tejto derivácie dostávame:

$$f^{(n)}(s_0) = 2((\Delta_0 - r_0 \mathbf{n}_0)((\alpha_n(s_0) \mathbf{t}_0 + \beta_n(s_0) \mathbf{n}_0) + \gamma_n(s_0)))$$

Kedže $\Delta(s) = P(s) - P(s_0)$, po dosadení s_0 sa tento člen vynuluje. Tiež platí, že $\mathbf{n}_0 \mathbf{t}_0 = 0$ a $\mathbf{t}_0 \mathbf{t}_0 = 1$, čím dostávame:

$$\begin{aligned} f^{(n)}(s_0) &= 2(-r_0\beta_n(s_0) + \gamma_n(s_0)) \\ &= 2\left(-r_0\left(k_0^{(n-2)} + b_n\left(k_0, \dots, k_0^{(n-4)}\right)\right) + c_n\left(k_0, \dots, k_0^{(n-4)}\right)\right) \end{aligned}$$

Najvyšší rát derivácie, ktorý sa v tejto rovnosti objavuje, je $(n-2)$, preto ak $k_0^{(1)} = \dots = k_0^{(n-2)} = 0$, tak $c_n\left(k_0, \dots, k_0^{(n-4)}\right) = 0$, $b_n\left(k_0, \dots, k_0^{(n-4)}\right) = 0$ a aj $k_0^{(n-2)} = 0$, teda $f^{(n)}(s_0) = 0$ pre n nepárne.

V prípade, že $P(s_0)$ je vrchol k -teho rádu, tak $k^{(1)}(s_0) = 0, \dots, k^{(k)}(s_0) = 0$, a teda aj $f^{(k+2)}(s_0) = 0$ pre k nepárne.

Pre n -tú deriváciu funkcie f v prípade, že n je párne platí:

$$f^{(n)} = 2((\Delta - r_0 \mathbf{n}_0)(\alpha_n \mathbf{t} + \beta_n \mathbf{n}) + \gamma_n),$$

kde

$$\begin{aligned} \alpha_n &= a_n(k, \dots, k^{(n-3)}) \\ \beta_n &= k^{(n-2)} + (-1)^{\frac{n}{2}-1} k^{n-1} + b_n(k, \dots, k^{(n-4)}) \\ \gamma_n &= (-1)^{\frac{n}{2}-1} k^{n-2} + c_n(k, \dots, k^{(n-4)}) \end{aligned}$$

Dosadením čísla s_0 do tejto derivácie dostávame:

$$f^{(n)}(s_0) = 2((\Delta_0 - r_0 \mathbf{n}_0)((\alpha_n(s_0) \mathbf{t}_0 + \beta_n(s_0) \mathbf{n}_0) + \gamma_n(s_0)))$$

Opäť využijúc, že $\Delta_0 = 0$, $\mathbf{n}_0 \mathbf{t}_0 = 0$ a $\mathbf{t}_0 \mathbf{t}_0 = 1$, dostávame:

$$f^{(n)}(s_0) = 2(-r_0\beta_n(s_0) + \gamma_n(s_0)),$$

kde

$$\begin{aligned} \beta_n(s_0) &= (-1)^{\frac{n}{2}-1} k_0^{n-1} + k_0^{(n-2)} + b_n(k_0, \dots, k_0^{(n-4)}) \\ \gamma_n(s_0) &= (-1)^{\frac{n}{2}-1} k_0^{n-2} + c_n(k_0, \dots, k_0^{(n-4)}) \end{aligned}$$

Najvyšší rát derivácie, ktorý sa v tejto rovnosti objavuje, je $(n - 2)$, preto ak $k_0^{(1)} = \dots = k_0^{(n-2)} = 0$, tak $c_n(k_0, \dots, k_0^{(n-4)}) = 0$, $b_n(k_0, \dots, k_0^{(n-4)}) = 0$ a aj $k_0^{(n-2)} = 0$, z toho $f^{(n)}(s_0) = 2\left((-1)^{\frac{n}{2}-1}k_0^{n-2} - r_0\left((-1)^{\frac{n}{2}-1}k_0^{n-1}\right)\right)$.

r_0 vieme pomocou krivosti krivky vyjadriť ako $\frac{1}{k_0}$, zo súčinu $r_0 k_0^{n-1}$ dostávame tak k_0^{n-2} . Tým v tomto vzťahu máme dva rovnaké členy s opačnými zmanienkami, ktoré sa po sčítaní vynulujú a teda $f^{(n)}(s_0) = 0$ pre n párne.

V prípade, že $P(s_0)$ je vrchol k -teho rádu, tak $k^{(1)}(s_0) = 0, \dots, k^{(k)}(s_0) = 0$, a teda aj $f^{(k+2)}(s_0) = 0$ pre k párne.

Ukázali sme teda, že nezávisle od toho, či je rát vrcholu k párny alebo nepárny, všetky derivácie funkcie f až po rát $k + 2$ sa vynulujú. Teraz chceme zistiť, ako bude vyzerať $f^{(k+3)}(s_0)$. Tu môžu nastat 2 prípady:

1. ak k je nepárne, tak $(k + 3)$ je párne
2. ak k je párne, tak $(k + 3)$ je nepárne

Oba tieto prípady musíme riešiť zvlášť:

1. ak k je nepárne, tak $(k + 3)$ je párne a platí:

$$f^{(k+3)}(s_0) = 2((\Delta_0 - r_0 \mathbf{n}_0)((\alpha_{k+3}(s_0) \mathbf{t}_0 + \beta_{k+3}(s_0) \mathbf{n}_0) + \gamma_{k+3}(s_0))),$$

kde

$$\begin{aligned} \alpha_{k+3}(s_0) &= a_{k+3}(k_0, \dots, k_0^{(k)}), \\ \beta_{k+3}(s_0) &= (-1)^{\frac{k+3}{2}-1} k_0^{k+2} + k_0^{(k+1)} + b_{k+3}(k_0, \dots, k_0^{(k-1)}), \\ \gamma_{k+3}(s_0) &= (-1)^{\frac{k+3}{2}-1} k_0^{k+1} + c_{k+3}(k_0, \dots, k_0^{(k-1)}) \end{aligned}$$

Využijúc, že $\Delta_0 = 0$, $\mathbf{n}_0 \mathbf{t}_0 = 0$, $\mathbf{t}_0 \mathbf{t}_0 = 1$, $k^{(1)}(s_0) = 0, \dots, k^{(k)}(s_0) = 0$ a tým

aj $c_{k+3} \left(k_0, \dots, k_0^{(k-1)} \right) = 0$ a $b_{k+3} \left(k_0, \dots, k_0^{(k-1)} \right) = 0$ dostávame:

$$\begin{aligned} f^{(k+3)}(s_0) &= 2 \left((-1)^{\frac{k+3}{2}-1} k_0^{k+1} - r_0 \left((-1)^{\frac{k+3}{2}-1} k_0^{k+2} + k_0^{(k+1)} \right) \right) \\ &= 2 \left(\left((-1)^{\frac{k+3}{2}-1} k_0^{k+1} - (-1)^{\frac{k+3}{2}-1} k_0^{k+1} \right) - r_0 k_0^{(k+1)} \right) \\ &= -2r_0 k_0^{(k+1)} \neq 0, \end{aligned}$$

lebo $k_0^{(k+1)} \neq 0$.

Vieme, že polomer oskulačnej kružnice r_0 je kladný, preto $f^{(k+3)}(s_0)$ má opačné znamienko ako $k_0^{(k+1)}$.

Ak $k_0^{(k+1)} > 0$, tak $f^{(k+3)}(s_0) < 0$. Podľa vety o priebehu funkcie má $f(s)$ v s_0 ostré lokálne maximum a krivost krivky má v bode $P(s_0)$ ostré lokálne minimum.

To znamená, že vzdialenosť bodov $P(s)$ od stredu oskulačnej kružnice $S(s_0)$ v bode $P(s_0)$ má ostré lokálne maximum, preto v blízkosti s_0 ležia body $P(s)$ krivky vnútri tejto kružnice. Krivka leží teda lokálne v okolí bodu s_0 vnútri oskulačnej kružnice v bode $P(s_0)$.

Ak $k_0^{(k+1)} < 0$, tak $f^{(k+3)}(s_0) > 0$. Podľa vety o priebehu funkcie má $f(s)$ v s_0 ostré lokálne minimum a krivost krivky má v bode $P(s_0)$ ostré lokálne maximum.

To znamená, že vzdialenosť bodov $P(s)$ od stredu oskulačnej kružnice $S(s_0)$ v bode $P(s_0)$ má ostré lokálne minimum, preto v blízkosti s_0 ležia body $P(s)$ krivky zvonka tejto kružnice. Krivka leží teda lokálne v okolí bodu s_0 zvonka oskulačnej kružnice v bode $P(s_0)$.

2. ak k je párne, tak $(k+3)$ je nepárne a platí:

$$f^{(k+3)}(s_0) = 2 \left((\Delta_0 - r_0 \mathbf{n}_0) ((\alpha_{k+3}(s_0) \mathbf{t}_0 + \beta_{k+3}(s_0) \mathbf{n}_0) + \gamma_{k+3}(s_0)) \right),$$

kde

$$\begin{aligned} \alpha_{k+3}(s_0) &= (-1)^{\frac{k+2}{2}} k_0^{k+2} + a_{k+3} \left(k_0, \dots, k_0^{(k)} \right), \\ \beta_{k+3}(s_0) &= k_0^{(k+1)} + b_{k+3} \left(k_0, \dots, k_0^{(k-1)} \right), \\ \gamma_{k+3}(s_0) &= c_{k+3} \left(k_0, \dots, k_0^{(k-1)} \right) \end{aligned}$$

Využijúc, že $\Delta_0 = 0$, $\mathbf{n}_0 \mathbf{t}_0 = 0$, $\mathbf{t}_0 \mathbf{t}_0 = 1$, $k^{(1)}(s_0) = 0, \dots, k^{(k)}(s_0) = 0$ a tým aj

$c_{k+3} \left(k_0, \dots, k_0^{(k-1)} \right) = 0$ a $b_{k+3} \left(k_0, \dots, k_0^{(k-1)} \right) = 0$ dostávame:

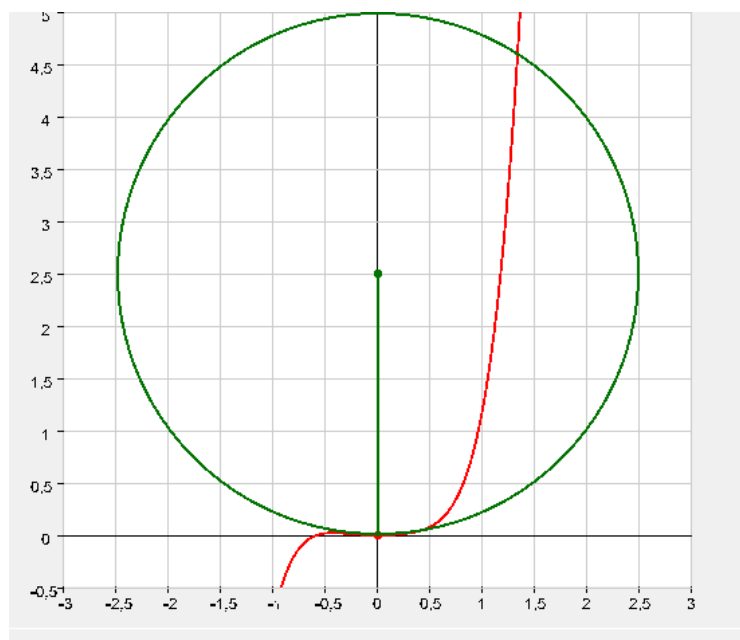
$$f^{(k+3)}(s_0) = 2 \left(-r_0 k_0^{(k+1)} \right) = -2r_0 k_0^{(k+1)} \neq 0, \text{ lebo } k_0^{(k+1)} \neq 0$$

Vieme, že polomer oskulačnej kružnice r_0 je kladný, preto $f^{(k+3)}(s_0)$ má opačné znamienko ako $k_0^{(k+1)}$.

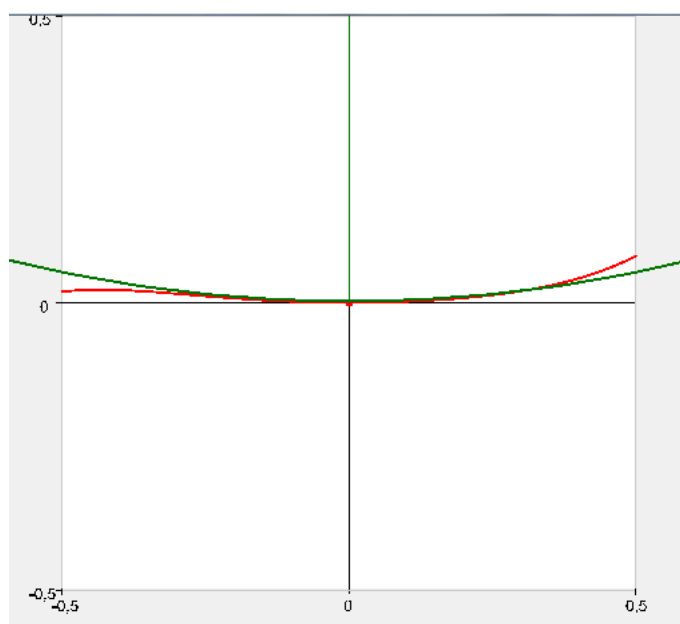
Ak $k_0^{(k+1)} > 0$, tak $f^{(k+3)}(s_0) < 0$. Podľa vety o priebehu funkcie $f(s)$ v s_0 s rastúcim s lokálne klesá a krivost krivky v bode $P(s_0)$ s rastúcim s rastie. To znamená, že pre s blízke s_0 a väčšie ako s_0 vzdialenosť bodov $P(s)$ od stredu oskulačnej kružnice $S(s_0)$ v bode $P(s_0)$ klesá, preto pre také čísla s ležia body krivky vnútri kružnice. Z rovnakého dôvodu ležia body $P(s)$ pre s blízke k s_0 a menšie ako s_0 zvonka oskulačnej kružnice v bode $P(s_0)$.

Ak $k_0^{(k+1)} < 0$, tak $f^{(k+3)}(s_0) > 0$. Podľa vety o priebehu funkcie $f(s)$ v s_0 s rastúcim s lokálne rastie a krivost krivky v bode $P(s_0)$ s rastúcim s rklesá. To znamená, že pre s blízke s_0 a väčšie ako s_0 vzdialenosť bodov $P(s)$ od stredu oskulačnej kružnice $S(s_0)$ v bode $P(s_0)$ rastie, preto pre také čísla s ležia body krivky zvonka kružnice. Z rovnakého dôvodu ležia body $P(s)$ pre s blízke k s_0 a menšie ako s_0 vnútri oskulačnej kružnice v bode $P(s_0)$. \square

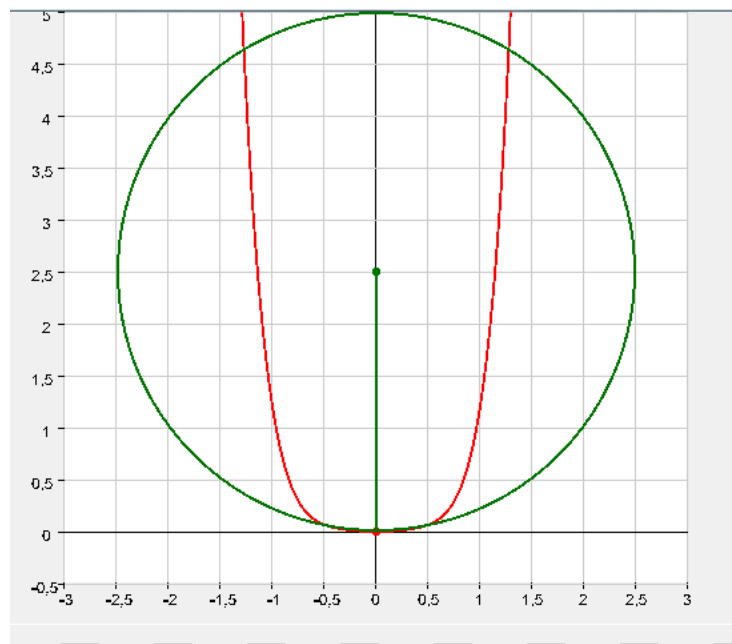
Predchádzajúca veta hovorí o tom, aká je vzájomná poloha krivky oskulačnej kružnice vo vrchole vyššieho rádu. Teraz už máme predstavu, aký je vzťah oskulačnej kružnice a krivky nielen vo všeobecnom bode a obyčajnom vrchole, ale aj vo vrchole vyššieho rádu.



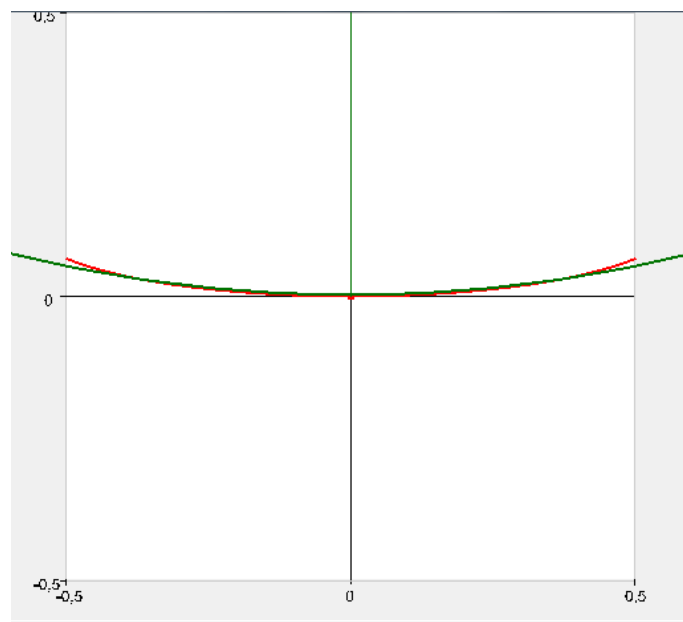
Obr. 2.7: Oskulačná kružnica krivky danej predpisom $f(x) = x^5 + 0,08x^4 + 0,2x^2$ vo vrchole druhého rádu



Obr. 2.8: Oskulačná kružnica krivky vo vrchole druhého rádu, krivka prechádza z jednej strany kružnice na druhú

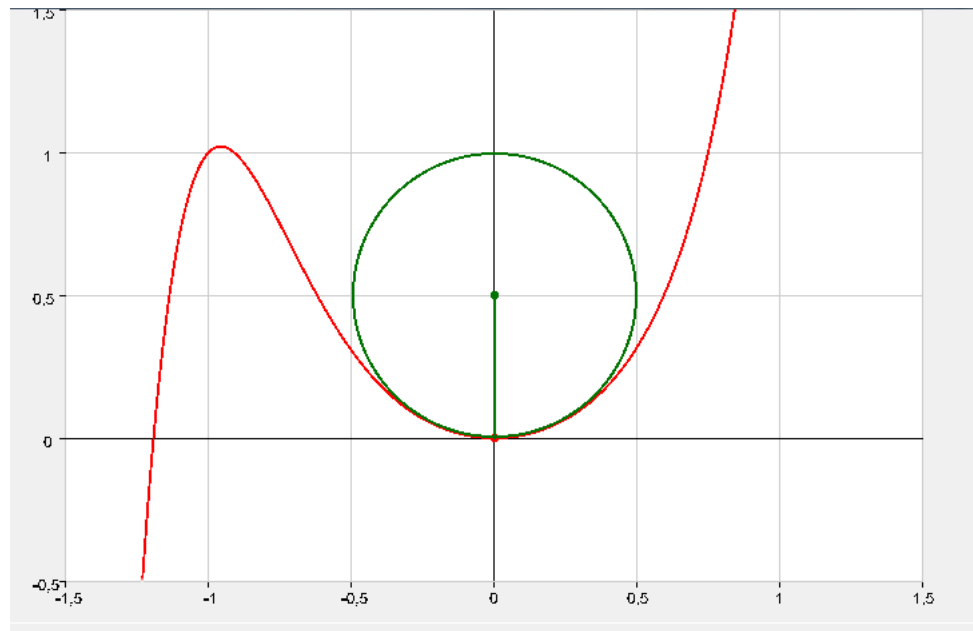


Obr. 2.9: Oskulačná kružnica krivky danej predpisom $f(x) = x^6 + 0,08x^4 + 0,2x^2$ vo vrchole tretieho rádu

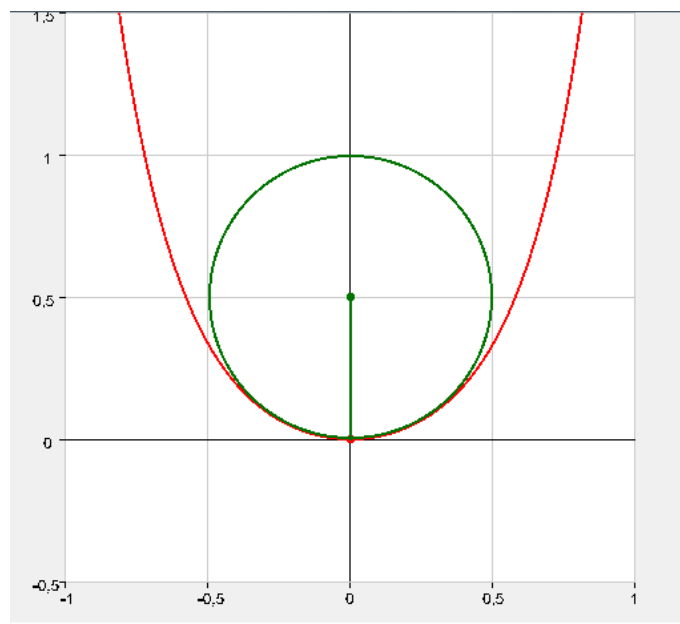


Obr. 2.10: Oskulačná kružnica krivky vo vrchole tretieho rádu, krivka leží na jednej strane kružnice

Oskulačná kružnica krivky vo vrchole vyššieho rádu



Obr. 2.11: Oskulačná kružnica krivky danej predpisom $f(x) = x^7 + x^4 + x^2$ vo vrchole tretieho rádu



Obr. 2.12: Oskulačná kružnica krivky danej predpisom $f(x) = 1.4x^6 + x^4 + x^2$ vo vrchole štvrtého rádu

Kapitola 3

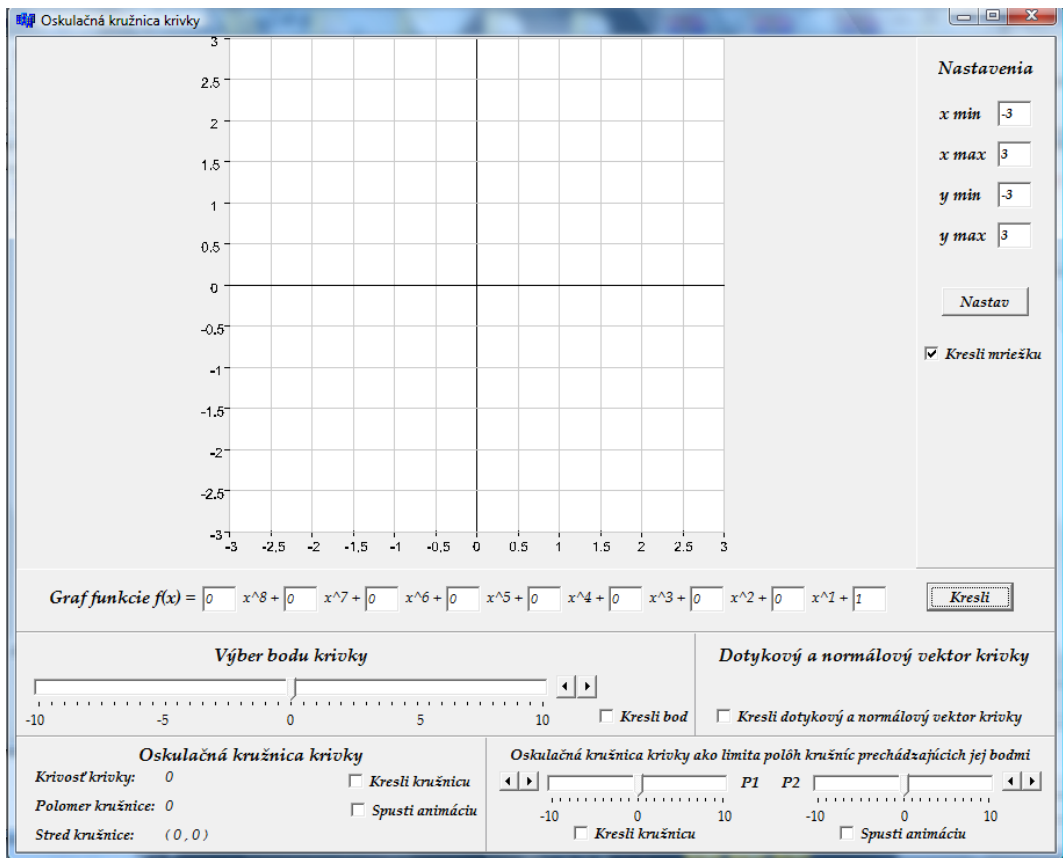
Vizualizácia vybraných vlastností kriviek a oskulačnej kružnice

Súčasťou práce je program slúžiaci predovšetkým na vizualizáciu oskulačnej kružnice krivky v nevrchole, v obyčajnom vrchole ako aj vo vrchole vyššieho rádu. Okrem toho umožňuje sledovať a vizualizovať aj niekotré iné vybrané vlastnosti zvolenej krivky.

Program je napísaný v programovacom jazyku C++, pričom na vykreslovanie sa používa grafická knižnica OpenGL.

Výsledná aplikácia sa skladá z jedného hlavného okna, ktoré je rozdelené na 7 častí. Z toho najväčšia časť slúži na vykreslovanie a ďalších 6 panelov na rôzne nastavenia vykreslovaných objektov.

Napravo od vykreslovacieho okna sa nachádza panel slúžiaci na nastavenie intervalov v x -ovom a y -ovom smere, v ktorých sa bude vykreslovať. Užívateľ nastavuje rozsah intervalu v x -ovom smere zadáním hodnôt x_{min} a x_{max} a rozsah v y -ovom smere voľbou hodnôt y_{min} a y_{max} . Aplikácia umožňuje zadávať do príslušných políčok buď celé alebo desatinné čísla, pričom z dôvodu jednoduchej práce s vykreslovaním sa zadané desatinné čísla automaticky prepisujú na najbližšie celé číslo alebo na najbližšie desatinné číslo, ktorého desatinná časť je 0.5. Užívateľ svoju voľbu

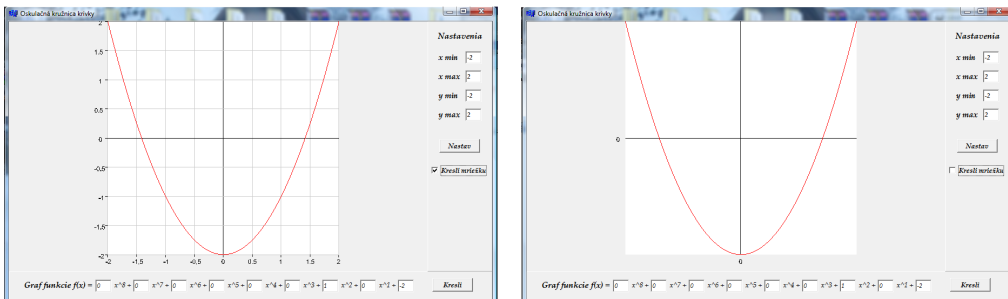


Obr. 3.1: Okno otvorené po spustení programu

potvrdzuje stlačením tlačítka *Nastav*, pričom sa to automaticky prejaví aj v okne slúžiacom na vykrešlovanie. Na tomto paneli sa nachádza aj zaškrťávacie políčko, ktoré umožňuje voľbu, či sa pri kreslení bude alebo nebude zobrazovať mriežka.

Pod vykresľovacím oknom sa pozdĺž celej šírky hlavného okna nachádzajú ďalšie panely slúžiace na prácu so samotnou krvkou. Prvý z týchto panelov slúži na vykreslenie samotnej krvky. Hlavným dôvodom, pre ktorý tento jednoduchý program vznikol je ten, aby sa vizualizovali výsledky dosiahnuté v práci a vzájomná poloha oskulačnej kružnice a krvky v jej rôznych bodech. Keďže pri hľadaní príkladov krviek s vrcholmi vyšších rádov sa pracuje s grafom funkcie $y = f(x)$, tento program umožňuje zadávať krvku v tomto tvare. Užívateľ krvku určí zadaním koeficientov pred mocniny premennej x , pričom najvyššia mocnina je 8. Tieto koeficienty môžu byť rovnako celočíselné, ako aj desatinné čísla. Stlačením tlačítka *Kresli* sa

zvolená krvka vykreslí.



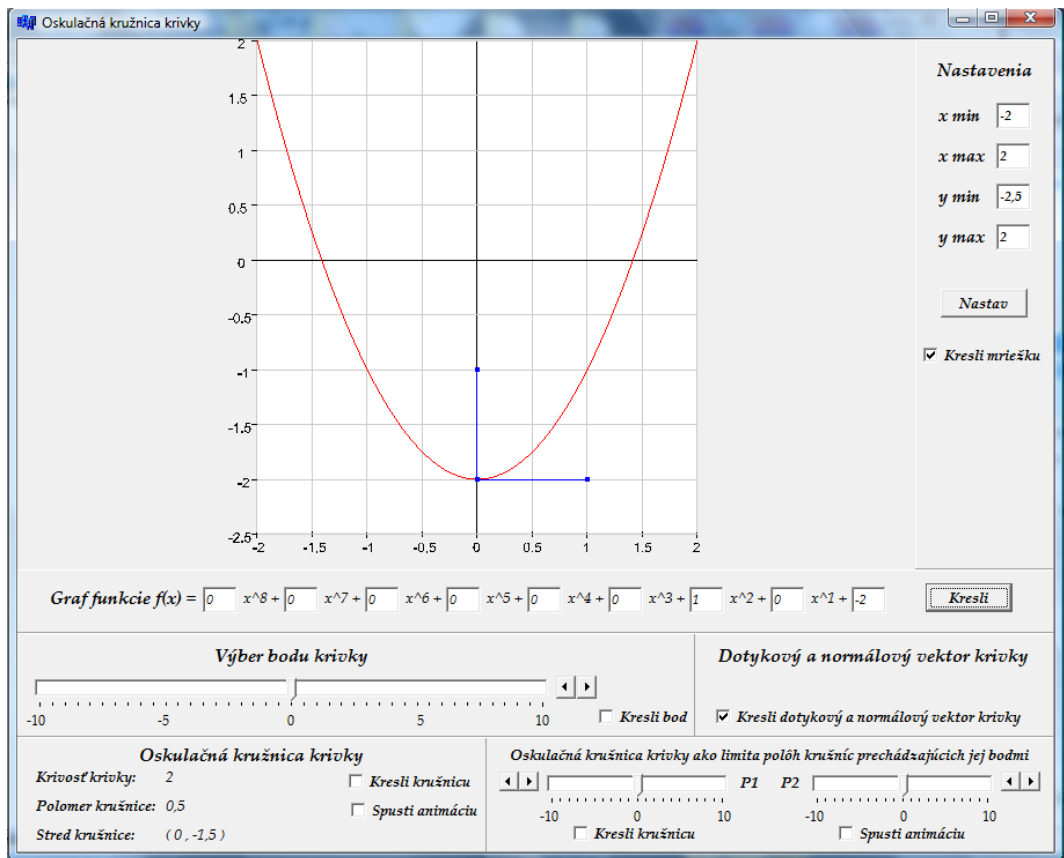
Obr. 3.2: Vykreslenie grafu funkcie s mriežkou a bez mriežky

Ďalší panel slúži na výber a vykreslenie bodu na zadanej krvke. Panel obsahuje posuvnú lištu, ktorá určuje x -ovú súradnicu vybraného bodu. Jej poloha sa mení pomocou šípok umiestných napravo od lišty. Vybraný bod sa do vykresľovacieho okna nakreslí zaškrtnutím políčka *Kresli bod*.

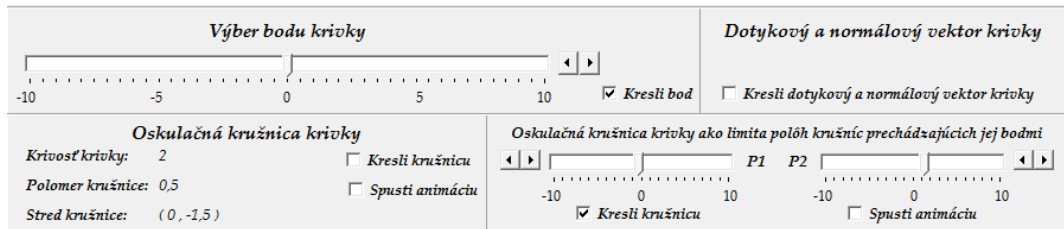
Napravo od tohto panelu sa nachádza panel, ktorý umožňuje vykresliť dotykový a normálový vektor krvky vo vybranom bode. Na voľbu, či sa majú alebo nemajú tieto vektory kresliť, opäť slúži zašktávacie políčko.

V spodnej časti hlavného okna sa nachádzajú panely slúžiace na prácu s oskulačnou kružnicou krvky.

V ľavom z nich sa vypisujú údaje týkajúce sa oskulačnej kružnice krvky v jej zvolenom bode, t.j. krivost krvky, polomer a súradnice stredu oskulačnej kružnice. V pravej časti tohto panelu sú umiestnené zašktávacie políčka. Prvé z nich slúži na vykreslenie oskulačnej kružnice krvky. Po zaškrtnutí druhého políčka sa spustí animácia, ktorá umožňuje užívateľovi sledovať, ako sa mení poloha oskulačnej kružnice pozdĺž krvky. Poloha zvoleného bodu sa automaticky mení, jeho x -ová súradnica sa zvyšuje, až kým sa nedosiahne maximálna možná hodnota $x = 10$ na posuvnom paneli. Potom sa hodnota x -ovej súradnice začne znižovať, až po minimálnu hodnotu $x = -10$. Tento cyklus sa opakuje, až kým sa animácia odškrtnutím príslušného políčka nezastaví.



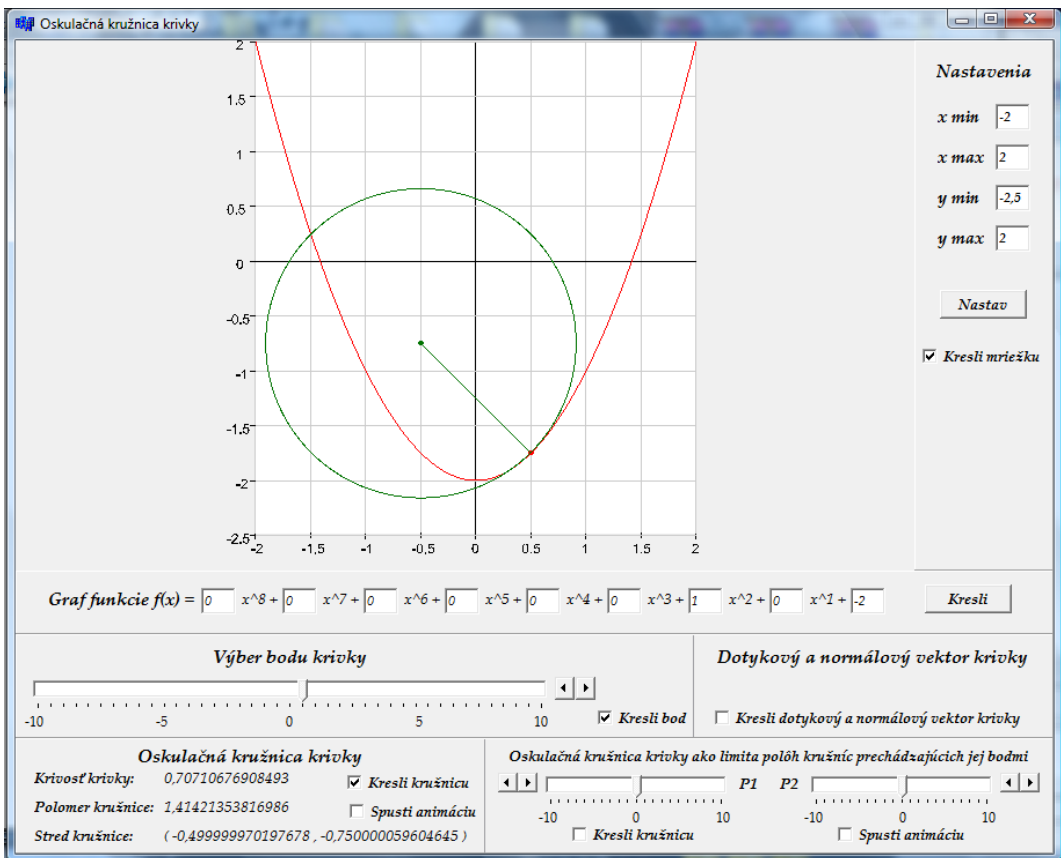
Obr. 3.3: Kreslenie dotykového a normálového vektora krivky



Obr. 3.4: Panely slúžiace na prácu s oskulačnou kružnicou krivky

Posledný panel slúži na vizualizáciu vety, ktorá hovorí o oskulačnej kružnici ako o limite polôh kružník prechádzajúcich dvoma bodmi krivky blížiaciach sa k vybranému bodu. Tento panel obsahuje 2 posúvne lišty slúžiace na voľbu týchto dvoch bodov krivky, bodov P_1 a P_2 .

Zaškrtnutím políčka *Kresli kružnicu* sa nakreslí kružnica prechádzajúca zvoleným bodom krivky a bodmi P_1 a P_2 . Zároveň sa vykreslia aj príslušné body, pričom P_1

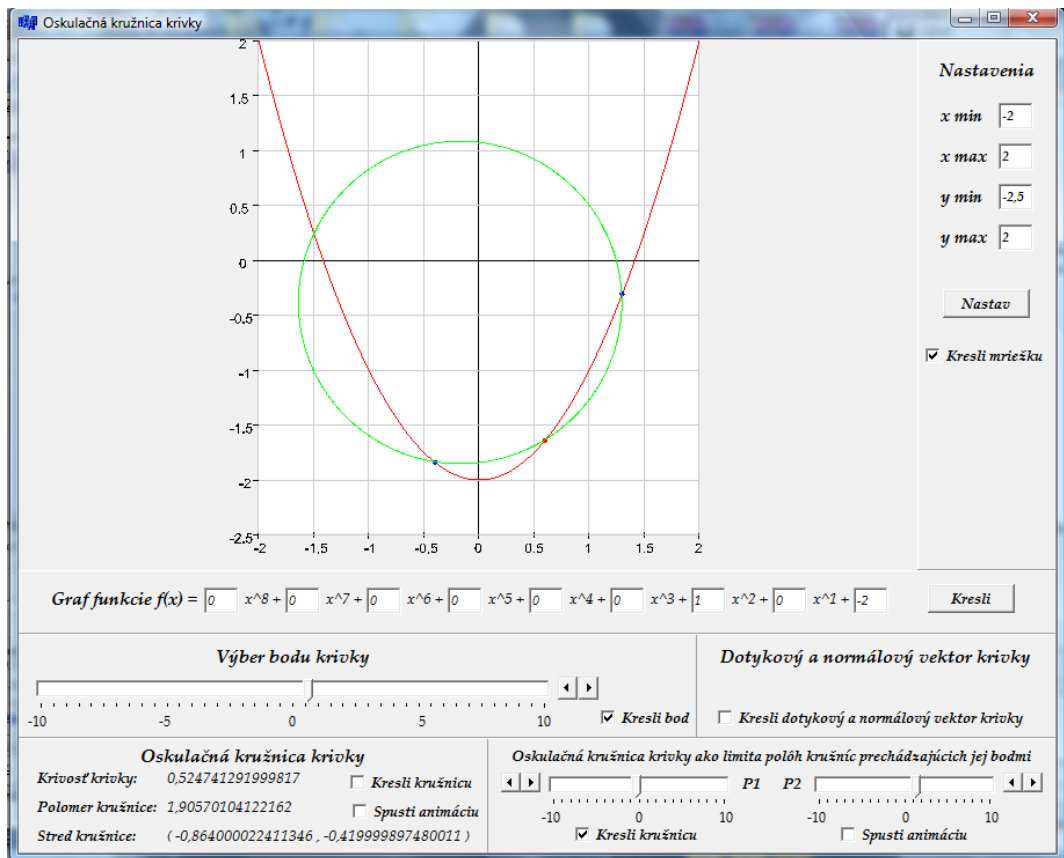


Obr. 3.5: Kreslenie oskulačnej kružnice krivky

a P_2 sú nakreslené modrou farbou, čím sú farebne odlišené od zvoleného červeného bodu.

Druhé políčko slúži na spustenie animácie, ktorá znázorňuje už spomínanú vetu. Ak sa bod P_1 zvolí naľavo od bodu krivky a P_2 napravo od tohto bodu, tak po spustení animácie sa x -ová súradnica bodu P_1 zvyšuje a x -ová súradnica bodu P_2 znižuje, čím sa tieto bod blížia k vybranému bodu krivky. Animácia sa zastaví vo chvíli, keď poloha bodov P_1 a P_2 dosiahne polohu zvoleného bodu krivky a vykreslí sa oskulačná kružnica krivky.

V prípade, že sa body P_1 a P_2 zvolia v inej polohe vzhľadom na vybraný bod krivky, tak sa animácia zastaví až v momente, keď poloha bodu P_1 bude totožná s polohou zvoleného bodu alebo dosiahne maximálnu hodnotu $x = 10$ a poloha bodu P_2 bude totožná s polohou zvoleného bodu alebo dosiahnu minimálnu hodnotu $x = -10$.



Obr. 3.6: Kreslenie kružnice krivky prechádzajúcej jej troma bodmi

Ovládanie programu je naozaj jednoduché a dajú sa pomocou neho vizualizovať niektoré vlastnosti kriviek opísané v tejto práci. Práve pomocou neho vznikla aj väčšina použitých obrázkov.

Záver

Hlavným cieľom tejto práce bolo ukázať, ako sa oskulačná kružnica krivky správa v rôznych bodoch krivky. Vychádzalo sa z poznatkov, že vo všeobecnom bode krivka prechádza z jednej strany oskulačnej kružnice na druhú, pričom v obyčajnom vrchole, teda vo vrchole prvého rádu, krivka ostáva na jednej strane oskulačnej kružnice.

Na základe toho sa vyslovilo a následne dokázalo tvrdenie, ktoré hovorí, že vo vrchole nepárneho rádu krivka ostáva v blízkosti vrchola na jednej strane oskulačnej kružnice a vo vrchole párneho rádu krivka prechádza z jednej strany oskulačnej kružnice na druhú. Tento cieľ práce sa podarilo splniť, pričom sa dosiahnuté výsledky aj vizualizovali pre ich lepšiu predstavu.

Pri tvorbe tejto práce sa pracovalo nielen s oskulačnou kružnicou krivky, ale aj s vrcholmi vyšších rádov, o ktorých v literatúre nájdeme len málo zmienok. Preto snahou bolo určiť predpis, ktorý by umožnil nájsť vrcholy ľubovoľného rádu vybranej skupiny krviek. Výpočty ukázali, že tento predpis nevieme len tak ľahko nájsť a keďže to ani nebolo hlavnou úlohou tejto práce, ďalej sa touto náročnou a dlhou cestou neuberala.

Aj keď predpis krvky s vrcholom ľubovoľného rádu sa nenašiel, našli sa príklady krviek, ktoré majú vrcholy až rádu 4. V budúcnosti by sa práca mohla rozšíriť tým, že by sa odvodil predpis pre krvku, ktorá by mala vrchol n -tého rádu.

Veľmi veľkú úlohu pri vizualizácii dosiahnutých výsledkov a ilustrácií niektorých vlastností krviek zohral program vytvorený k tejto práci. Jeho funkčnosť je opísaná v poslednej kapitole.

Literatúra

- [BCP03] T. BANCHOFF, S. CHERN, and W. POHL. *Differential Geometry of Curves and Surfaces. Curvature-based Features.* Dostupné na internete: http://www.math.brown.edu/~banchoff/ma106_2003/chern1.pdf, 2003.
- [BEL06] A. BELYAEV. *Plane and Space Curves. Curvature. Curvature-based Features.* Dostupné na internete: <http://www.mpi-inf.mpg.de/~ag4-gm/handouts/curves.pdf>, 2006.
- [BOŽ07] M. BOŽEK. *Krivky I - učebné texty.* Fakulta matematiky, fyziky a informatiky Univerzity Komenského, Bratislava, 2007.
- [BOŽ08] M. BOŽEK. O nesprávnej predstave oskulačnej kružnice rovinnej krivky. In *Zborník príspevkov z konferencie EMATIK 2008*, pages 11–18. ISBN 978-80-89186-55-6, Knižničné a edičné centrum FMFI UK, Bratislava, 2008.
- [GIB01] C. G. GIBSON. *Elementary Geometry of Differentiable Curves: an Undergraduate Introduction.* Cambridge University Press, 2001.
- [HK07] S. HERMANN and R. KLETTE. A Comparative Study on 2D Curvature Estimators. In *Proceedings of the International Conference on Computing: Theory and Applications.* 2007. Dostupné na internete: <http://www.computer.org/portal/web/csdl/doi/10.1109/ICCTA.2007.2>.
- [JAR63] V. JARNÍK. *Diferenciální počet I.* Nakladatelství ČSAV Praha, 1963.

LITERATÚRA

- [JEŽ09] F. JEŽEK. *Diferenciální geometrie - Pomocný učební text - díl I.* Západočeská univerzita v Plzni, Fakulta aplikovaných věd, Plzeň, 2009. Dostupné na internete: http://www.fd.cvut.cz/personal/voracsar/GeometriePG/PGR020/DG_Jezek01.pdf.
- [OSC] *Curves in Plain - Another approach to the osculating circle.* <http://home.scarlet.be/~ping1339/curves.htm>.
- [SCH10] T. SCHIFRIN. *DIFFERENTIAL GEOMETRY: A First Course in Curves and Surfaces.* University of Georgia, 2010. Dostupné na internete: <http://www.math.uga.edu/~shifrin/ShifrinDiffGeo.pdf>.